

UNIVERZA V LJUBLJANI
BIOTEHNI^{KA} FAKULTETA
ODDELEK ZA BIOLOGIJO

Rok MIKLAV I

**BIOGEOGRAFSKA TIPIZACIJA HALOFILNE RNE
KVASOVKE *HORTAEA WERNECKII***

DIPLOMSKO DELO

Univerzitetni –tudij

Ljubljana, 2016

UNIVERZA V LJUBLJANI
BIOTEHNIČKA FAKULTETA
ODDELEK ZA BIOLOGIJO

Rok MIKLAV I

**BIOGEOGRAFSKA TIPIZACIJA HALOFILNE RNE KVASOVKE
*HORTAEA WERNECKII***

DIPLOMSKO DELO
Univerzitetni -tudij

**BIOGEOGRAPHIC TYPIZATION OF THE HALOPHYLIC BLACK
YEAST *HORTAEA WERNECKII***

GRADUATION THESIS
University Studies

Ljubljana, 2016

Diplomsko delo je zaključek Univerzitetnega študija biologije. Opravljeno je bilo na Katedri za biologijo mikroorganizmov na Oddelku za biologijo.

TMŠtudijska komisija Oddelka za biologijo je za mentorico diplomskega dela imenovala prof. dr Nino Gunde-Cimerman, za recenzentko prof. dr. Ana Plemenita – in za predsednico komisije za zagovor doc. dr. Polono Zalar.

Komisija za oceno in zagovor:

Predsednica: doc. dr. Polona ZALAR
Univerza v Ljubljani, Biotehnička fakulteta, Oddelek za biologijo
Članica: prof. dr. Nina GUNDE-CIMERMAN
Univerza v Ljubljani, Biotehnička fakulteta, Oddelek za biologijo
Članica: prof. dr. Ana PLEMENITATM
Univerza v Ljubljani, Medicinska fakulteta, inštitut za biokemijo

Datum zagovora: 6. 9. 2016

Podpisana izjavljam, da je naloga rezultat lastnega raziskovalnega dela. Izjavljam, da je elektronski izvod identičen tiskanemu. Na univerzo neodpoljujo, neizključno, prostorsko in avsonno neomejeno pravico do reproduciranja ter pravico omogočanje javnega dostopa do avtorskega dela na svetovnem spletu preko Digitalne knjižnice Biotehničke fakultete.

Rok Miklavčič

KLJUČNA DOKUMENTACIJSKA INFORMACIJA

TD	Dn
DK	UDK 579(043.2)
KG	<i>Hortaea werneckii</i> / rne kvasovke/halotoleranca/AFLP/polimorfizem dolfine pomnoflenih delov/M13
AV	MIKLAV I , Rok
SA	GUNDE-CIMERMAN, Nina (mentorica)/PLEMENITA™ Ana (recenzentka)
KZ	SI-1000 Ljubljana, Jamnikarjeva 101
ZA	Univerza v Ljubljani, Biotehnička fakulteta, Oddelek za biologijo
LI	2016
IN	BIOGEOGRAFSKA TIPIZACIJA HALOFILNE RNE KVASOVKE <i>HORTAEA WERNECKII</i>
TD	Diplomsko delo (Univerzitetni -tudij)
OP	XI, 64 str., 4 pregl., 13 sl., 1 pril., 56 vir. .
IJ	sl
JI	sl/en
AI	<p><i>Hortaea werneckii</i> je ekstremno halotolerantna rna kvasovka, sprva poznana kot povzročiteljica površinske okuflbe dlani in stopal pri loveku, imenovane <i>tinea nigra</i>. Okuflba se pojavlja v tropskih in subtropskih predelih, kot saprotita pa je prisotna tudi v zmerinem pasu. Osamili so jo iz tevilnih naravnih slanih habitatov, kot so slanice v solinah, slana jezera, kamnite površine ob obali in drugih. Je značilno polimorfnata. Na spremembah v okolju se odzove s kompleksnim flivljenjskim krogom, kjer se izmenjujeta hidrofilna kvasna oblika in hidrofobna rast v obliki hif. Najbolj neugodne razmere povezane s tvorbo meristematskih skupkov z debelo celično steno. Zanje sta znana tvorba kompatibilnega topnjencega glicerola in pigmenta melanina, ki predstavlja začetek pred sevanjem iz okolja, celice začetki pred encimsko lizo, ekstremnimi temperaturami, oksidativni agensi in osmotskim stresom. <i>H. werneckii</i> je postala modelni organizem za preučevanje halotolerance pri evkariontih. V okviru diplomskega dela smo seveda <i>H. werneckii</i>, izolirane iz različnih habitatov in lokacij, od tropskega do zmernega pasu primerjali na mikromorfološkem in makromorfološkem nivoju, primerjali smo sposobnost rasti na gojičih z različnimi koncentracijami NaCl ter ugotovljali znotrajvrstno variabilnost. Slednje smo ugotovljali z metodama prstnega odtisa, in sicer z oligonukleotidnim začetkom bakteriofaga M13 in s polimorfizmom dolfine pomnoflenih delov (AFLP). Razlik v uspešnosti rasti na gojičih s površino koncentracijo NaCl med sevimi osamljenimi slovečki kofle in solinskimi sevimi nismo opazili. Večina sevov je rastla v razponu od 0 do 25 odstotkov dodanega NaCl. Na gojičih s površino koncentracijo NaCl in po daljšem času inkubacije smo opazili intenzivnejšo melanizacijo. Po molekularno-genetskih analizah se solinski in ostali okoljski sevi ter sevi izolirani slovečki niso ločevali v različne filogenetske skupine, ampak so bili združeni. To je lahko pokazatelj, da vrsta ni posebej prilagojena na rast na slovečkih koflih, ampak jo naseljuje zaradi podobnosti s svojim primarnim okoljem - solinami.</p>

KEY WORDS DOCUMENTATION

DN Dd
DC UDC 579(043.2)
CX *Hortaea werneckii*/black yeasts/halotolerance/AFLP/amplified fragment lenght polymorphism/M13 fingerprint
AU MIKLAV I Rok
AA GUNDE-CIMERMAN, Nina (supervisor)/PLEMENTA™Ana (reviewer)
PP SI-1000 Ljubljana, Jamnikarjeva 101
PB University of Ljubljana, Biotechnical Faculty, department of Biology
PY 2016
TI BIOGEOGRAPHIC TYPORIZATION OF THE HALOPHILIC BLACK YEAST
HORTAEA WERNECKII
DT Graduation Thesis (University studies)
NO XI, 64 p., 4 tab., 13 fig., 1 ann., 56 ref.
LA sl
AL sl/en
AB *Hortaea werneckii*, an extremely halotolerant black yeast, is known as a causative agent of *tinea nigra* in humans. This is a superficial black colouring of the palms of the hands and the soles of the feet. Infection occurs in tropical and subtropical regions. As a saprobe it is also present in the temperate zone. It was isolated from numerous natural hypersaline environments, including brines in salterns, saline lakes, rock surfaces near the marine coast and others. It is characteristically polymorphic. It reacts to the changes in the environment with a complex life cycle, alternating between a hydrophilic yeast-like growth and a hydrophobic growth in the form of hyphae. It survives the most adverse conditions by forming thick cell walled meristematic clumps. It produces a compatible solute glycerol, as well as the pigment melanin, which provides the protection against UV radiation, enzymatic lysis, extreme temperatures, oxidizing agents and osmotic stress. *H. werneckii* has become a model organism for halotolerance studying in eukaryotes. In this research, we compared various *H. werneckii* strains isolated from different habitats and locations from the tropical to the temperate zone. In order to determine the intraspecific variability, we compared the strains on the micro- and macro-morphological level, we tested them for their ability to grow on culture media with different concentrations of NaCl added. We performed two DNA fingerprinting techniques, the M13 fingerprinting and amplification fragment length polymorphism (AFLP). No differences in growth among the isolates from human skin and from salterns were recorded on culture media with high concentration of NaCl. Most strains thrived well on culture media with 0 to up to 25 % of added NaCl. In general, on culture media with a higher concentration of NaCl and after a longer incubation time, we observed a more intensive melanisation. Using the mentioned fingerprinting methods, no separate clustering of strains isolated from salterns versus strains isolated from humans and other natural habitats was observed. It appears that *H. werneckii* is present on human skin solely due to similar environmental factors, as present in its natural primary habitat - salterns.

KAZALO VSEBINE

KLJUČNA DOKUMENTACIJSKA INFORMACIJA	III
KEY WORDS DOCUMENTATION	IV
KAZALO VSEBINE	V
KAZALO SLIK	VIII
KAZALO PREGLEDNIC	IX
KAZALO PRILOG	X
OKRAJ™AVE IN SIMBOLI	XI
1 UVOD	1
1.1 NAMEN IN DELOVNA HIPOTEZA	1
2 PREGLED OBJAV	3
2.1 EKSTREMNI HABITATI IN SLANA OKOLJA	3
2.2 HALOFILNI ORGANIZMI IN HALOFILNE GLIVE	4
2.2.1 Prilagoditve mikroorganizmov na flivljenje v ekstremno slanih vodah	5
2.3 RNE KVASOVKE	6
2.4 <i>HORTAEA WERNECKII</i>	8
2.4.1 Taksonomija	8
2.4.2 Ekologija	9
2.4.2.1 Naravna ekološka niša	9
2.4.2.2 <i>Tinea nigra</i>	10
2.4.3 Morfologija	12
2.4.4 Fiziologija	13
2.4.5 Prilagoditve <i>H. werneckii</i> na slana okolja	14
2.4.6 Molekularno genetske metode za proučevanje genetske raznolikosti	15
3 MATERIAL IN METODE	17
3.1 REAGENTI, KEMIKALIJE IN DRUGI PRIPOMOČKI	17
3.1.1 Kemikalije	17
3.1.2 Laboratorijski pribor	18

3.1.3 Laboratorijske aparature	19
3.2 GOJI™ A, PUFRI, ZMESI IN GELI.....	19
3.2.1 Goji – a.....	19
3.2.2 Zmesi	21
3.2.3 Pufri.....	21
3.2.4 Geli za analizo DNA.....	22
3.3 UPORABLJENI SEVI.....	24
3.4 METODE.....	25
3.4.1 Molekularno genetske analize	26
3.4.1.1 Izolacija genomske DNA	26
3.4.1.2 Agarozna gelska elektroforeza.....	27
3.4.1.3 Metoda prstnega odtisa z nukleotidnim za etnikom bakteriofaga M13 (M13 fingerprinting)	27
3.4.1.4 Polimorfizem dolfinje pomnovenih delov (AFLP)	29
3.4.2 Morfološke analize	35
3.4.2.1 Makromorfološki opis	35
3.4.2.2 Mikromorfološki opis.....	36
4 REZULTATI	37
4.1 MOLEKULARNO GENETSKE ANALIZE.....	37
4.1.1 Metoda prstnega odtisa z nukleotidnim za etnikom bakteriofaga M13	37
4.1.2 Polimorfizem dolfinje pomnovenih delov (AFLP)	38
4.2 MORFOLOŠKE ANALIZE	41
4.2.1 Makromorfološki opis	41
4.2.2 Mikromorfološki opis	44
5 DISKUSIJA	54
5.1 MIKRO IN MAKROMORFOLOGIJA	54
5.2 MOLEKULARNO GENETSKE ANALIZE.....	55
6 SKLEPI	58
7 POVZETEK.....	59

8 VIRI 60

ZAHVALA

PRILOGE

KAZALO SLIK

Slika 1: fiivljenski krog <i>H. werneckii</i> (prirejeno po de Hoog, Gerrits van den Ende 1992)	13
Slika 2: Fotografija gela pomnوفlenih fragmentov ločnih z elektroforezo pri metodi prstnega odtisa z za etnikom M13	37
Slika 3: Dendrogram podobnosti pridobljen po metodi prstnih odtisov za etnika M13	38
Slika 4: Dendrogram izrisan na podlagi matrike podobnosti profilov AFLP.	40
Slika 5: Različni tipi kolonij <i>H. werneckii</i> na goji– u MEA	42
Slika 6: Povprečja premerov kolonij (s standardnimi odkloni) vseh sevov na goji– u MEA z dodanim NaCl.....	43
Slika 7: Povprečja premerov kolonij (s standardnim odklonom) solinskih sevov in sevov izoliranih s loveka po treh tednih inkubacije na goji– u MEA z dodanim NaCl	44
Slika 8: Makro in mikromorfološke značilnosti seva EXF-155 na goji– u MEA z različnimi koncentracijami NaCl	48
Slika 9: Makro in mikromorfološke značilnosti seva EXF-241 na goji– u MEA z različnimi koncentracijami NaCl	49
Slika 10: Makro in mikromorfološke značilnosti seva EXF-2687 na goji– u MEA z različnimi koncentracijami NaCl	50
Slika 11: Makro in mikromorfološke značilnosti seva EXF-2688 na goji– u MEA z različnimi koncentracijami NaCl	51
Slika 12: Makro in mikromorfološke značilnosti seva EXF-2690 na goji– u MEA z različnimi koncentracijami NaCl	52
Slika 13: Značilne strukture različnih sevov vrste <i>H. werneckii</i> , na goji– u MEA z dodanimi različnimi koncentracijami NaCl, vidne z diferencialno interferenčnim mikroskopom pri 1000x povezavi	53

KAZALO PREGLEDNIC

Preglednica 1: Seznam uporabljenih kemikalij.....	17
Preglednica 2: Seznam uporabljenih aparatur.....	19
Preglednica 3: Seznam uporabljenih sevov.....	24
Preglednica 4: Lastnosti celic izbranih sevov, pridobljene z diferencialno interferenčno mikroskopijo.....	45

KAZALO PRILOG

PRILOGA A : VELIKOSTI KOLONIJ V MILIMETRIH NA GOJI™ U MEA Z
RAZLIČNIMI KONCENTRACIJAMI NACL, PO ENEM, DVEH IN TREH TEDNIH
INKUBACIJE

OKRAJTMAVE IN SIMBOLI

AFLP	polimorfizem dolfin pomnoflenih delov (ang. Amplified Fragment Length Polymorphism)
bp	bazni par
CBS	mikrobiološka zbirka gliv Centraalbureau voor Schimmelcultures, Utrecht
CTAB	cetyltrimetilamonijev bromid
ddH ₂ O	bidestilirana voda
dH ₂ O	destilirana voda
DNA	deoksiribonukleinska kislina
dNTP	deoksinukleotid trifosfat
EDTA	etildiamintetraocetna kislina
H ₂ O	voda
HCl	klorovodikova kislina
M	molarno (mol/l)
MEA	agar s sladnim ekstraktom (ang. Malt extract agar)
MgCl ₂	magnezijev (II) klorid
MZKI	Mikrobiološka zbirka Kemijskega in-tituta
NaCl	natrijev klorid
obr/min	obrati na minuto
oz.	ozioroma
PCR	veriflina reakcija s polimerazo (ang. Polymerase chain reaction)
pH	negativni logaritem koncentracije protonov
pmol	pikomol (10^{-12} mol)
RAPD	naključno pomnolevanje polimorfne DNA (ang. Random Amplified Polymorphic DNA)
RFLP	polimorfizem dolfin restriktionskih fragmentov (ang. Restriction Fragment Length Polymorphism)
RNA	ribonukleinska kislina
sod.	sodelavci
TBE	TRIS-borat-EDTA
TE	TRIS-EDTA
TRIS	2-amino-2-hidroskimetil-propan-1,3diol
UPGMA	netehana metoda parnih skupin z aritmetično sredino (ang. Unweighted Pair Group Method with Arithmetic mean)
UV	ultravioleten
ZDA	Združene države Amerike

1 UVOD

Hortaea werneckii je halofilna rna kvasovka, sicer znana kot povzročiteljica mikoze pri loveku, imenovane »*tinea nigra*«. Infekcija s *H. werneckii* se odraža v obliki rnih madeflev, najpogosteje na dlaneh in podplatih. Ne velja pa kot patogena sprememb, saj je glivo možno odstraniti s temeljitejšim spiranjem, hife pa nikoli ne prodrejo do flive plasti kofnih celic, ampak se omejujejo na rofleno in lipidno plast kofle. Kofne spremembe na ravnih *H. werneckii* so bile opaflene izključno v tropskem in subtropskem pasu.

Glivo *H. werneckii* so osamili iz izjemno slane vode solin po celi svetu (Slovenija, Bosna in Hercegovina, Češka, Dominikanska Republika, Namibija, Portugalska, Tajska). Raznolik izvor sevov, tako s loveka kot iz ekstremne naravne ekološke niše - solin, pa postavlja vprašanje, ali se izolati iz okolja in iz loveka razlikujejo.

1.1 NAMEN IN DELOVNA HIPOTEZA

Namen diplomske naloge je bil ugotoviti znotrajvrstno variabilnost glive *Hortaea werneckii*. Izolati za nalogo so bili pridobljeni z dolgoletnimi studijami biološke raznovrstnosti gliv v izjemno slanih vodah solin po celi svetu. Naloga je vključevala tudi seve, obravnavane v prej-njih populacijskih studijah, izolirane s kofle dlani in podplatov loveka, pridobljene iz drugih mikrobioloških zbirk. Znotrajvrstno variabilnost smo ugotavljali z metodo raznolikosti dolfin pomnoflenih fragmentov (AFLP) in metodo prstnega odtisa z nukleotidnim za etnikom bakteriofaga M13 (M13 fingerprinting), spremljali pa smo tudi fenotipske lastnosti, kot je sposobnost rasti pri visokih koncentracijah NaCl ter morfološke oblike in značilnosti pri omenjenih pogojih.

HIPOTEZE:

1. Solinski in ostali okoljski sevi ter sevi osamljeni iz ljudi in flivali ne bodo lo eni v razli ne filogenetsko podprte skupine, temve bodo med seboj pomešani, kar bo posredno nakazovalo, da vrsta *H. werneckii* za loveka ni patogena.
2. Solinski in ostali okoljski sevi ter sevi osamljeni iz ljudi in flivali se ne bodo razlikovali v profilu rasti na goji–ih z dodanimi različnimi koncentracijami NaCl.

2 PREGLED OBJAV

2.1 EKSTREMNI HABITATI IN SLANA OKOLJA

Na Zemlji je poleg običajnih habitatov, ki omogočajo flivljenje večini organizmov, tudi mnogo ekstremnih, kjer lahko preflivijo le prilagojeni organizmi. Skupna lastnost ekstremnih okolij je, da se fizikalno-kemijski parametri (tlak, temperatura, pH, dostopnost vode) toliko odmakajo od normalnih, mezofilnih vrednosti, da tukaj preflivijo le izredno prilagojeni - ekstremofilni organizmi.

Vodna okolja, kjer je koncentracija soli mnogo višja od 3% (m/V) (0,5M NaCl) oz. slanosti morske vode, so habitat s povsem slano slanostjo. Imenujemo jih hiperslani habitat, tam živejo organizme, pa na sol odporni oz. halotolerantni in slanoljubni oz. halofilni organizmi. Razmejitev med halofilnimi ter halotolerantnimi organizmi je umetna in arbitarna. Ker oceani predstavljajo 97% vse razpoložljive vode na Zemlji in prekrivajo 71% površine Zemlje, se mora veliko tam živeti ih organizmov kosati s povsem slano slanostjo v svojem okolju (~3.5 % (m/V)). Oceanov pa kljub dejству, da v njih ne more prefliveti večina kopenskih in sladkovodnih organizmov, zaradi razsežnosti in velikega raztevila tam živeti ih vrst, ne moremo imenovati ekstremno okolje.

Ekstremno slana vodna okolja nastanejo, kjer je zmanjšan oz. prepričan dotok vode in kjer prihaja do povsem evaporacije. Primer takih habitatov so solarne soline (Zalar, 1999) in slana jezera (Oren, 2002).

Visoke koncentracijetopljenec v vodni raztopini zmanjšujejo dostopnost vode za organizme, ki živijo v takem okolju. Dostopnost vode za organizme lahko opisemo na več načinov (kot vodni potencial, kot osmotski potencial, kot kemijski potencial vode, kot osmotski tlak ali osmolalnost), najpogosteje pa se v zvezi z mikroorganizmi uporablja vodna aktivnost (a_w) (Blomberg in Adler, 1992). Najpogosteje uporabljena dogovorjena meja vodne aktivnosti, pod

katero lahko uspevajo izključno ekstremofilni organizmi, je $a_w=0,85$, kar ustreza 17 % (2.93M) raztopini NaCl (Pitt in Hocking 1977).

2.2 HALOFILNI ORGANIZMI IN HALOFILNE GLIVE

Halofilne organizme najdemo med prokariotami in evkariotami. Med prokariotami so najznačajnejši arheje iz redu *Halobacteriales* ter bakterije iz redu *Haloanaerobiales*. Pri evkariotih pa poznamo slanoljubne rastline (halofite), ki uspevajo na tleh s povečano vsebnostjo soli, v vodah pa najdemo tevilne enocelične alge in glive, pa tudi večcelične neflivali in rastline. Med halofilnimi evkariotami sta najbolj znana solinski rakec (*Artemia salina*) in zelena alga *Dunaliella salina* (Oren, 2002).

Eprav so glive fiziološko dobro prilagojene na flivljenje z nizkimi vodnimi aktivnostmi (Javor, 1989), jih do konca 80ih let niso povezovali z ekstremno slanimi habitatimi. Izraz »halofilen« se je uporabljal le za bakterije in alge. Na koncu 80ih in v za etku 90ih, so za nekatere glive fle dokazali, da rastejo bolje na gojištih, kjer je kot topljenec dodan NaCl (Andrews in Pitt. 1987), halofilnost pri glivah pa je dobivala vedno večji pomen.

Leta 1997 so iz ekstremno slanih voda solarnih solin pri Sečovljah, izolirali tevilne vrste gliv, ki so jih razdelili v dve skupini. V prvi so bile kserofilne glive, ki so zrastle na gojištih, bogatih s sladkorji. Te so spadale v nemelanizirano skupino gliv, ki jih običajno najdemo na hrani, konzervirani z visokimi koncentracijami sladkorja ali NaCl (*Wallemia sebi*, *Aspergillus* spp., idr.). Predvidevali so, da najverjetneje njihova naravna ekološka niša ni slana solinska voda, ampak naj bi bile tja zanesene iz tal ali dna bazenov, ki jih je zimo spraznijo, spore pa so preflivale osmotski stres. Druga skupina gliv, ki so zrastle na slanih gojištih, pa so bile halotolerantne in halofilne glive, ki so jih uvrstili v skupino kvasovkam podobnih množic hifomiketnih gliv. Za te so predvidevali, da lahko preflivajo v solinski slanici in da so soline

njihova naravna ekološka nina. Med njimi je bila tudi rna kvasovka *Hortaea werneckii*. (Gunde-Cimerman in sod., 2000).

Filamentozne halofilne glive, so izolirali tudi iz vodnih vzorcev Mrtega morja (Buchalo in sod., 1998) ter dokazali njihovo sposobnost preflivetja pri visokih koncentracijah NaCl in s tem njihovo halotolerantno oz. halofilno naravo. (Kis-Papo in sod. 2003).

2.2.1 Prilagoditve mikroorganizmov na flivljenje v ekstremno slanih vodah

Organizmi, ki flivijo v ekstremno slanih okoljih, problem osmotskega tlaka, s tem pa izgubo vode iz celice re-ujejo tako, da izenačijo znotrajceli no vodno aktivnost, z vodno aktivnostjo v okolju. Prepoznani sta bili dve temeljni strategiji.

Prva je strategija vzdrflevanja visoke znotrajcelne koncentracije ionov (t.i. »salt-in« strategija). Z energetsko ugodnim rpanjem ionov v celico ó saj je le-teh v okolici v izobilju ó doseflejo, da je znotrajcelna koncentracija ionov podobna koncentracijam v okolju. Ta strategija zahteva velike prilagoditve encimov in znotrajcelnih struktur na povečano koncentracijo soli, saj je le tako lahko zagotovljeno nemoteno delovanje znotrajcelnih encimatskih mehanizmov. To strategijo je razvilo v dolgotrajnem in kompleksnem evolucijskem procesu le omejeno -tevilo prokariontov. Med njimi so aerobne ekstremno halofilne arheje iz reduktivne *Halobacteriales* in anaerobne halofilne bakterije iz reduktivne *Haloanaerobiales* (Oren, 1999).

Druga strategija je strategija kompatibilnih topljencev. Te strategije se poslušujejo vsi ostali halilni mikroorganizmi (ostale bakterije, alge in glive). Gre za vzdrflevanje osmotskega ravnotešja z lastno sintezo, ali s privzemom majhnih organskih molekul iz okolja. To so kompatibilni topljenci ó snovi z nizko molekulsko maso, nenabiti in zelo dobro topni v vodi. Najpogosteji so polioli, kot so glicerol in arabitol, sladkorji in njihovi derivati, kot so

saharoza, trehaloza in glukozilglicerol ter aminokisline in njihovi derivati. Njihova sinteza je energetsko zahtevna, niso pa potrebne posebne prilagoditve znotrajceli nih struktur in encimov, saj je tudi pri visokih koncentracijah kompatibilnih topljencev omogočen inkovito delovanje encimov in celi nih struktur (Oren, 1999).

Med adaptacijo celic na stres se spremeni izrafljanje genov za določene proteine (Blomberg, 2000), sinteza let teh pa je največja v sredini obdobja prilagajanja (Norbeck in Blomberg, 1996).

Spremenjena je tudi aminokislinska sestava proteinov, predvsem pri tistih vrstah, ki vzdržujejo visoke koncentracije soli znotraj celic (Oren, 1999).

2.3 RNE KVASOVKE

»rne kvasovke« je termin, ki označuje tako po taksonomskem, kot po filogenetskem vidiku zelo heterogeno skupino gliv, ki imajo nekatere skupne lastnosti. Te so debela melanizirana celi na stena, meristematska rast, tvorba herinskih celic s kvasovkam-podobno multilateralno ali polarno cepljivo, sposobnost micelijske rasti, proizvajanje ekstracelularnih polisaharidov in kislih ali bazičnih sekundarnih metabolitov, toleranca za vodni in temperaturni stres in zapleten flivljenjski krog, kjer se izmenjujeta hidrofobna in hidrofilna faza. (de Hoog, 1993). Le redke vrste ne tvorijo nikakršne hifne faze (Sterflinger, 2006).

V literaturi naletimo tudi na izraz »meristematske glive«. Meristematske glive sta Hoog in Hermanides-Nijhoff (1977) opisala kot glive, ki tvorijo skupke melaniziranih, debelostenskih, izodiametričnih rastih celic.

Nekatere vrste imajo morfološke značilnosti, ki sovpadajo z obema opisoma. *Hortaea werneckii* npr., je melanizirana gliva, ki se razmnošuje med drugim tudi s kvasovkam-

podobno cepitvijo, sposobna pa je tvorbe meristematskih skupkov z izodiametri no rasto imi celicami (Sterflinger 2006). Nekatere meristematske glice tako lahko uvrščamo med rne kvasovke in obratno. Ozko filogenetsko sorodnost med obema skupinama sta že leta 1977 predlagala de Hoog in Hernandes-Nijhof, kasneje pa je bila z molekularno-genetskimi metodami teza tudi potrjena (Sterflinger in sod. 1999).

Razvrščanje rnih kvasovk v taksonomske skupine, je tudi za izkušnega mikologa izredno zahtevno. Eden od razlogov je izjemno podobna morfologija nekaterih vrst in rodov. Tako so lahko sorodne vrste morfološko divergentne, po morfologiji podobne glice pa filogenetsko manj sorodne, kot bi pričakovali (Sterflinger, 2006).

Nadaljnji razlog za teflavno razvrščanje rnih kvasovk v taksone, je njihov pleomorfizem. Pleomorfnna gliva je tista, ki ima morfološko različne oblike nespolnega (anamorf) in spolnega razmnoževanja (teleomorf). Nekatere vrste so sinanamorfne, kar pomeni, da imajo več morfološko različnih nespolnih oblik, poleg tega pa lahko imajo tudi nespolne oblike različne morfologije konidiogeneze (tvorbe spor), kar pa je pri identifikaciji na osnovi morfologije eden od poglavitnih znakov (Sterflinger, 2006).

Pri taksonomiji zato uporabljamo poleg morfoloških značilnosti, tudi biokemijske in fiziološke teste ter v zadnjih letih predvsem molekularno-genetske metode. Le z molekularno-genetskimi analizami se da ugotoviti, da sta dve morfološko povsem različni glivi, v resnici le različna sinanamorfa iste vrste.

Filogenetska drevesa, na osnovi sekvenč rRNA male ribosomske podenote (SSU rRNA), nam pokazujejo, da so rne kvasovke filogenetsko zelo oddaljene od razreda Hemiascomycetes, ki vsebuje najbolj znane rodove teh kvasovk: *Saccharomyces*, *Candida* in *Pichia*. (Haase 1999). To potrjujejo tudi kemotaksonomski podatki, saj celi na steni rnih kvasovk sestoji iz hitina in ne celuloze in manoze, kot pri kvasovkah. Rne »kvasovke« jim pravimo zgolj zaradi kvasovkam podobne rasti in razmnoževanja s cepitvijo.

rne kvasovke najdemo v skupini Ascomycetes, so pa filogenetsko zelo raznolike. Le nekaj melaniziranih predstavnikov najdemo v skupini Basidiomycetes, in sicer v rodovih *Trichosporonoides* in *Moniliella* (Haase in sod., 1999).

Do nedavnega je veljalo, da v filogenetskem drevesu na osnovi SSU rRNA, najdemo askomicetne rne kvasovke v dveh redovih, in sicer *Chaethothyriales* in *Dothideales*. Eden meristematski predstavnik (*Botryomyces caespitosus*) pa spada v red *Plesoporales*. Med *Chaethothyriales* najdemo predstavnike iz rodov *Phialophora* in *Exophiala*. *Exophiala* je največji rod rnih kvasovk, predstavniki pa so znani po tevilnih okuflbah loveka. V redu *Dothideales* najdemo predstavnike, ki so v meristematski obliki cel flivljenjski cikel (*Phaeotheca*, *Phaeosclera*, *Hyphospora*) in tak-ne ki so sposobni tvorbe meristematskih sinanamorfov (*Aureobasidium*, *Hortaea*) (Sterflinger 2006).

rne kvasovke bi lahko glede na njihove ekološke nje-e razdelili v tri skupine: glice, ki naseljujejo naravne ali umetno ustvarjene osmotske habitate, glice rastoče na kamninah ter glice ki povzročajo mikoze pri ljudeh in flivalih (Zalar, 1999). Večinoma imajo vsi opisani habitati značilne skupne lastnosti kot, so omejena dostopnost vode, UV sevanje, osmotski stres, pomanjkanje hrani in pogoste ekstremne temperature. Pogosto se zgodi, da zaradi podobnih razmer ista vrsta rnih kvasovk uspeva na večih zgoraj omenjenih habitatih.

2.4 HORTAEA WERNECKII

2.4.1 Taksonomija

Hortaea werneckii (Horta) Nishimura et Miyaji, je bil od svojega poimenovanja leta 1921 povzročen teflave pri uvrstjanju v taksonomski sistem. Horta je opisal na podlagi površinske lezije kofle loveka in jo uvrstil v rod *Cladosporium* kot vrsto *C. werneckii* Horta. Leta 1935 jo je Dodge preimenoval v *Dermatium werneckii* (Horta) Dodge. Leta 1952 jo je de Vries preimenoval v *Pullularia werneckii* (Horta) de Vries, von Arx pa jo je leta 1970 preimenoval v

Exophiala werneckii (Horta) von Arx in uvrstil v rod *Exophiala*. Leta 1977 sta de Hoog in Hermanides-Nijhof objavila sinonimijo med *E. werneckii* (Horta) von Arx ter med vrsto *Sarcinomyces crustaceous* Lindner. Obstaja več vrsta sinonimov, kot so *Cryptococcus metaniger* Castell., opisana leta 1927, *Cladosporium metanigrum* (Castell.) Ferrari, opisana leta 1932, *Pullularia fermentans* Wynne et Gott var. *castellanii* Wynne et Gott, ter varieteta iste vrste *Pullularia fermentans* Wynne et Gott var. *leaoi* Wynne et Gott, opisani leta 1956. Kon no poimenovanje v popolnoma nov rod, *Hortaea* Nishimura et Miyaji, je sledilo po vrsti ni elektronsko-mikroskopski raziskavi, ko sta avtorja poleg anelidnega, odkrila enkraten simpodialen na in konidiogeneze (Nishimura in Miyaji, 1984). Od tedaj naprej lahko ta na in konidiogeneze zasledujemo tudi s svetlobno mikroskopijo. (Zalar, 1999).

Danes veljavna klasifikacija vrste *Hortaea werneckii*:

Kraljevstvo Glive

Deblo Ascomycota

Razred *Dothideomycets*

Podrazred *Dothideomycetidae*

Red *Capnoidales*

Druffina *Teratosphaeriaceae*

Rod *Hortaea* (Nishim. in Miyaji 1984)

Vrsta *Hortaea werneckii* (Horta) Nishimura in Miyaji 1984

2.4.2 Ekologija

2.4.2.1 Naravna ekološka niša

Ker so sprva *H. werneckii* poznali le kot povzročiteljico tinea nigre, se je pojavljalo vprašanje o njeni naravnih ekoloških nišah. Naravno ekološko nišo *H. werneckii* sta na podlagi

ekofizioloških testov de Hoog in Gerrits van den Ende (1992) opisala kot območje suho, sicer pa slano vodno okolje. Njuno sklepanje je potrdila izolacija *H. werneckii* iz solarnih solin tekom celotne kristalizacijske sezone, kjer vsebnost NaCl v vodi naraste tudi do 30% (Gundersen in sod. 2000), evaporacijski bazeni pa so med praznitvijo povsem brez vode.

Do danes so *H. werneckii* izolirali že iz tevilnih drugih okolij, vključno s solinami v Španiji, Franciji, na Portugalskem, v Dominikanski republiki, v Namibiji in Portoriku, izolirali so jo iz potapljačke opreme v Španiji (Cabanes in sid., 2012), z listov mangrove na Kitajskem (Chen in sod., 2012) z marmornega kipa ob morju iz Gruje (Sterflinger K., 1998), iz okon in morskega prastiha (Sharmin in sod. 2002) in tevilnih drugih.

2.4.2.2 *Tinea nigra*

Hortaea werneckii je bila v preteklosti najbolje poznana kot povzročiteljica površinske kofline spremembe imenovane *tinea nigra*. *Tinea nigra* je bila prvič opaflena leta 1872 na južnem Kitajskem (Neves, Costa, 1947). Prve publikacije o infekciji in njeni povzročiteljici so se pojavile leta 1905 (Castellani, 1966), leta 1921 pa je Horta izoliral in poimenoval povzročitelja z originalnim imenom *Cladosporium werneckii*. Sprva je veljala kot patogena okufilba kofle, a se je kasneje pokazalo, da gliva naseljuje le zgornjo plast odmrlih celic kofle (stratum corneum) in ne prodira v globlje plasti do flivih celic. Vrsta ni sposobna razgradnje keratina. Hidrofobnost celic ne povzroča, odpornost na visoko koncentracijo soli in na nizek pH, ter sposobnost razgradnje in asimilacije lipidov ji omogoča pritrjanje in preflivetje na lovečki kofli (Göttlich in sod., 1995).

Tinea nigra se na kofli pokafle kot temni - rjavi do rjani madefli velikosti od nekaj milimetrov do nekaj centimetrov, navadno nepravilnih oblik. Pojavijo se 2-7 tednov po kontaktu z glivo. Imajo ostro definiran rob, niso dvignjeni in ne luskasti. Madefli navadno ne srbijo, ne bolijo in

niso povezani z vnetjem. Pojavljajo se na dlaneh, redkeje na podplatih ali drugje (prsti, vrat, prsni koški,...) (Bonifaz in sod. 2008, Perez in sod. 2005).

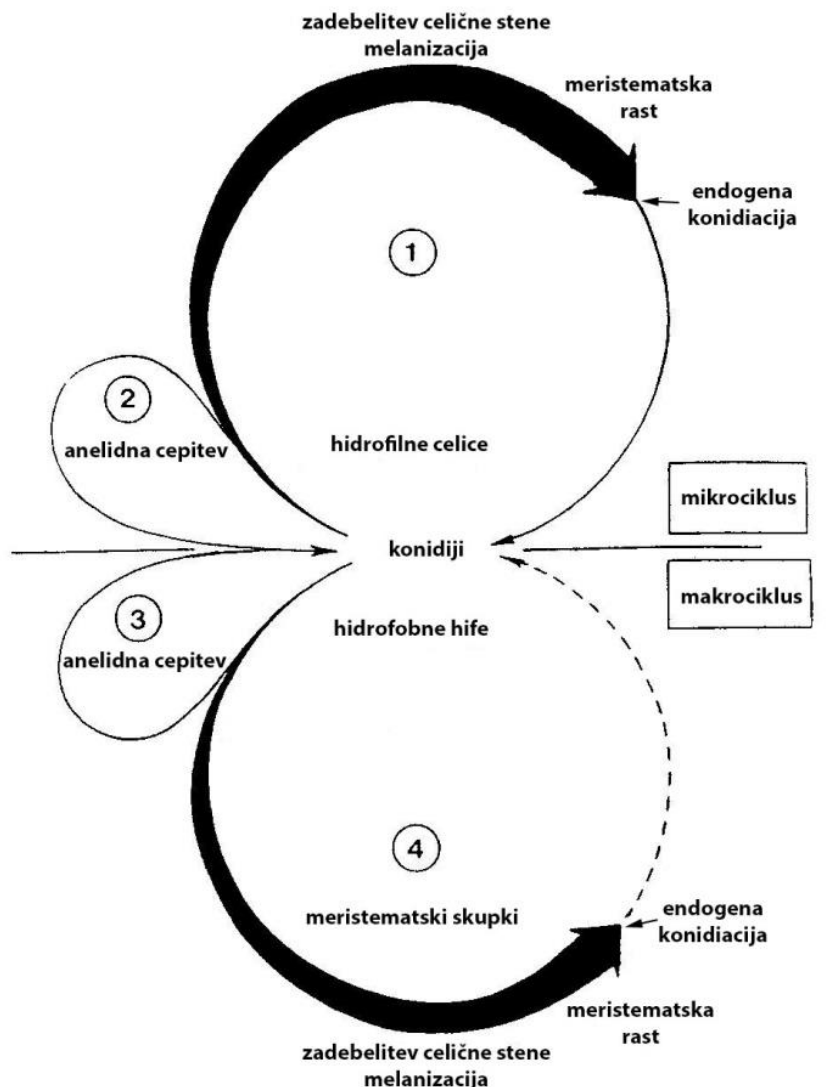
Tinea nigra je prisotna v tropskih in sub-tropskih predelih Srednje in Juhne Amerike, Afrike in Azije (McKinlay in sod. 1999). Poročajo ajo tudi o primerih iz Severne Amerike in Evrope, vendar naj bi ti pacienti v preteklosti obiskali ameriške tropne ali Karibske otroke (Perez C. in sod. 2005). Najverjetnejše so ti ljudje prišli v stik z glivo, ko so bosi hodili po plafli, otroci pa pri fotanju v obmorskih luflah. Po enih virih naj bi se najpogosteje pojavljala pri mladostnicah in otrocih (McKinlay in sod. 1999), po drugih virih pa naj bi se okuflba pojavila enako pogosto pri vseh spolih in starostnih skupinah (Bonifaz in sod. 2008). Oslabitev imunskega sistema za okuflbo ni poglavitna. Kot edini predispozicijski faktor navajajo hiperhidrozo ali ljudje s ezmernim znojenjem dlani so bolj dovetni za okuflbo (Perez in sod. 2005). Pogosteje poročajo o okuflbah pri svetlopolnih ljudeh, najverjetnejše zato, ker so madefli na temnejši kofli težje opazni. Okuflba s *H. werneckii* je dokaj redka. Predstavlja manj kot 1% vseh glivnih okuflb (Bonifaz in sod. 2008). Frekvenca okuflb s *H. werneckii* je najverjetnejše veja, a zaradi svoje asimptomatske narave in možnosti spontane ozdravitve le malo ljudi počutijo zdravniško pomoč, pač pa zato, ker spremembe na kofli zamenjajo s prvimi znaki koflnega raka. V preteklosti je večkrat prihajalo do zamenjave madeflov z malignim melanomom in tako do nepotrebnih boleznih biopsij. *Tinea nigra* se preprosto in hitro diagnosticira z dermatoskopijo koflnega madefla in s svetlobno mikroskopijo pripravka strganja površine madefla v raztopini KOH, ki se kasneje lahko dokafle tudi kot rast značilnih kolonij na trdnem gojišču. Madefli se lahko učinkovito odpravijo s temeljitejšim strganjem površine ali s keratoliti nimi pripravki (lučko povrhnjico kofle). Zelo učinkovito je Whitfieldovo mazilo, ki vsebuje 3% raztopino salicilne kisline in 6% raztopino benzojske kisline. Učinkovite so tudi razne lokalne aplikacije protigliivi inhi mazil, ki zavirajo biosintezo ergosterola v celični membrani gliv, kot so bifonazol, klortrimazol, ketokonazol, tebrinafin ter ciklopiroksofamin, ki pa deluje na tevilne celične encime, kot so peroksidaze, katalaze in Na^+ , K^+ ATP-aza (Bonifaz in sod. 2008, Perez in sod. 2005).

2.4.3 Morfologija

Hortaea. werneckii je značilno polimorfna, njena oblika pa odvisna od trenutnih pogojev v okolju. Kolonije so počasi rastajoče, gladke in sluzaste, zraka ni micelij je olivno zelen do rne barve, gladek in septiran. (Chen in sod., 2012). Hife med staranjem kolonij postanejo gosto septirane, rjavno obarvane in imajo debelo celično steno. Na konidiogenih celicah, ki so nameščene interkalarno ali lateralno, so značilne dolge anelacijske cone. Konidiji so običajno elipsoidni, lahko prej no septirani, pogosto se preobrazijo v skupke hlamidospor, imenovane meristematski skupki. (de Hoog in sod., 2000).

Kot tudi nekatere druge rne kvasovke, ima *H. werneckii* kompleksen flivljenjski ciklus, kjer se izmenjavata hidrofilen in hidrofoben na in rasti, kar se ujema s spremenljivimi pogoji v solinah in slanih morskih luflah v območju plimovanja.

V ugodnih pogojih, torej pri zmerni temperaturi in vodi bogati s hranili, je gliva v hidrofilni kvasni obliki. Temu delu cikla pravimo mikrociklus - Slika 1(2). Pri teh pogojih kvasne celice pospešeno tvorijo herinske celice s polarno anelidno cepitvijo, na mestu cepitve pa ostanejo obročaste "brazgotine". Materinske celice postopoma odebujijo in tvorijo debele celične stene, zato ne se meristematska rast, anelidna cepitev se ustavi - Slika 1(1). Sedaj se herinske celice tvorijo z endogeno konidiacijo, zato se celične stene materinske celice in sprostijo se konidiji s tanko celično steno. Na okoljski stres, kot je suša, pomanjkanje hraničnih ali sprememb temperature, se gliva odzove s produkcijo hidrofobnih hif. Temu delu cikla pravimo makrociklus - Slika 1(3). Hife kalijo skozi celično steno materinske celice. Interkalarne celice hif tvorijo konidije, ki se sprostojo spiralno. V zelo neugodnih razmerah pa se tvorijo dormanta sklerocijska telesca (hlamidospore), ki so močno melanizirana in imajo debele celične stene - Slika 1(4). V ugodnih okoljskih pogojih se z njimi zavrnejo endogene konidiacije sprostijo herinske celice (de Hoog, Gerrits van den Ende 1992).



Slika 1: fiivljenski krog *H. werneckii* (prirejeno po de Hoog, Gerrits van den Ende 1992)

2.4.4 Fiziologija

Sevi vrste *Hortaea werneckii* rastejo v razponu 0 do 30 % NaCl v gojišču. Optimalna koncentracija NaCl za rast in razmnoževanje je 5 do 10 %. Prisotnost NaCl je torej eden od ključnih faktorjev rasti *H. werneckii*, ni pa nujno potrebna za njeno rast (Zalar in sod., 1999a).

Glive ki lahko rastejo pri 3 M koncentracijah NaCl (a_w 0,85) in so jih redno izolirali iz različnih slanih okolij z koncentraciji NaCl večjo kot 1,7 M kategoriziramo kot ekstremno halotolerantne, medtem, ko so sporadični izolati, ki lahko rastejo pri 3 M koncentracijah NaCl kategorizirani kot halotolerantne glive.

H. werneckii lahko asimilira laktozo, nitrat in nitrit, zmoflha je rasti brez ali pri majhnih koncentracijah L-lizina, kadaverina, kreatinina (de Hoog in sod., 1992). Vrsta ni sposobna razgradnje keratina, ima pa lipolitično aktivnost (Cabanes in sod., 2012). Zna ilna je tudi sinteza ureaze (Ng in sod., 2005). Optimalna temperatura rasti je 25 °C, pri 37 °C ne raste (de Hoog in sod., 1992). Optimalno pH območje rasti je 6,0 (Chen in sod., 2012). Je obligatno aerobna vrsta. (Abliz in sod., 2003)

2.4.5 Prilagoditve *H. werneckii* na slana okolja

Pri visokih koncentracijah soli v okolju, halotolerantne in halofiline glice, vzdržujejo pozitivni turgorski tlak s povečano tvorbo in kopijenjem kompatibilnih topljencev znotraj celic. Pri *H. werneckii* so to glicerol in nekateri drugi poliolji (eritritol, inositol, arabitol, ksilitol in manitol) (Plemenita–in sod. 2008) ter mikosporini (Kogelj in sod. 2007).

Znotrajceli no kopije enje kalijevih K^+ in natrijevih Na^+ ionov, je pri *H. werneckii* tudi pri visokih koncentracijah soli v okolju (4,5 M NaCl) nizko, kar izključuje osmotsko prilaganje na površino slanost z uporabo znotrajceličnih ionov (Kogelj in sod. 2007).

Melanizacija ima pomembno vlogo pri preživetju gliv v ekstremnih okoljih, saj omogoča odpornost gliv na sevanje iz okolja, celice zaščiti pred encimsko lizo, ekstremnimi temperaturami, oksidativni agensi in osmotskim stresom. Melanini so skupina pigmentov z različno molekulsko maso, sestavljeni iz kompleksnih molekul, ki so negativno nabite in hidrofobne. Tudi pri *H. werneckii* je melanin nepogrešljiv za njeno preživetje v izjemo slanih

solinskih vodah (Kejflar in sod. 2013). Dobro je poznana pot prenosa signala HOG (high-osmolarity glycerol), ki kot odgovor na povišano slanost v okolju, aktivira med drugim gene za encime, ki sodelujejo pri sintezi melanina (Turk in Plemenita–2002, Kejflar in sod. 2015).

V hiperslanih pogojih je transmembranski transport ionov za celice poglavitnega pomena. Analiza prena-alcev kovinskih kationov pri *H. werneckii*, je pokazala, da je večina dočivela več podvojitev genov tokom evolucije. Posledično se pojavljajo v veliko večini –tevilu kot bi priakovali. Določili so nukleotidno zaporedje celotnega genoma in ugotovili da je pravzaprav priložno do evolucijsko nedavne podvojitve celotnega genoma (Lenassi in sod. 2013).

2.4.6 Molekularno genetske metode za proučevanje genetske raznolikosti

Pri taksonomiji so poleg morfoloških značilnosti, fizioloških in biokemijskih testov za identifikacijo, vedno bolj pomembne tudi molekularno-genetske analize. Za določevanje genetske raznolikosti populacij, danes poznamo že veliko molekularnih metod. Za določevanje polimorfizma na ravni genoma se pogosto uporablja RFLP ali polimorfizem dolfinih restrikcijskih fragmentov (Denning in sod. 1990), AFLP ali polimorfizem dolfinih pomnoščenih fragmentov (Vos in sod. 2000), RAPD ali naključno pomnoščevanje polimorfne DNA (Williams in sod. 1990), M13 fingerprinting ali metoda prstnega odtisa z nukleotidnim zaetnikom bakteriofaga M13 (Ryskov in sod. 1988) in druge.

Pri glivah je za –tudij taksonomije in raznolikosti v uporabi več regij genoma. Najpogosteje se uporablja regija ribosomalnih genov, katere splošna organizacija je dobro znana. Sestavljena je iz genov za 18S majhno rRNA podenoto (ang. small ribosomal subunit - SSU) in genov za 28S veliko rRNA podenoto (ang. large ribosomal subunit - LSU). Ločujeta ju dva notranja distančnika ITS1 in ITS2 (ang. internal transcribed spacer - ITS), med njima pa je 5,8S konzervativna regija (Abliz in sod. 2003). Znotrajvrstne raznolikosti *Hortaea werneckii* so določeni ali na podlagi filogenetske analize ITS1 regije (Zalar in sod. 1999), ITS2 regije in regije

5,8S rDNA (de Hoog in sod. 1999), RAPD analizo (Uijthof in sod. 1994) ter RFLP tehnikami mitohondrijske DNA (mtDNA) (de Cock 1994).

Za detekcijo *Hortaea werneckii* v vzorcih celokupne DNA so poznani in natan no določeni specifični oligonukleotidni za etniki, ki so skonstruirani na podlagi hipervariabilne regije ITS (Abliz in sod 2003).

3 MATERIAL IN METODE

3.1 REAGENTI, KEMIKALIJE IN DRUGI PRIPOMOČKI

3.1.1 Kemikalije

Pri raziskovalnem delu smo uporabili kemikalije, zbrane v preglednici 1.

Preglednica 1: Seznam uporabljenih kemikalij

Kemikalija	Proizvajalec
Agar agar	Merck, Nemčija
Agaroza	BMA, Rockland, ME, ZDA
Borova kislina	Sigma Aldrich C., ZDA
Bromfenol modro	Sigma Aldrich C., ZDA
Celit	Merck, Darmstadt, Nemčija
CTAB	Sigma Chemical C., ZDA
dNTP	Amersham Biosciences, ZDA
<i>Eco</i> RI endonukleaza	Fermentas, Life Sciences, Litva
<i>Eco</i> RI linker 1 (5'-CTCgTAgACTCgTACC-3')	Proligo, Sigma Aldrich C., ZDA
<i>Eco</i> RI linker 2 (5'-AATTggTACgCAgTCTAC-3')	Proligo, Sigma Aldrich C., ZDA
EDTA	Kemika, Hrvatska
Etanol 70 %	Chemo d.d., Slovenija
Etanol 96 %	Chemo d.d., Slovenija
Etidijev bromid	Sigma Chemical C., ZDA
Glicerol	Kemika, Hrvatska
Glukoza	Kemika, Hrvatska
HCl	Kemika, Hrvatska
Kloroform	Kemika, Hrvatska
Lestvica DNA GeneRuler™ 10bp Plus	Fermentas, Life Sciences, Litva
Lestvica DNA GeneRuler™ 1kb Plus	Fermentas, Life Sciences, Litva
Ligacijski pufer (10x)	Fermentas, Life Sciences, Litva
Ligacijski pufer (10x)	Fermentas, Life Sciences, Litva
Ligaza T4 (1 U/ l)	Fermentas, Life Sciences, Litva
MgCl ₂	Fermentas, Life Sciences, Litva
<i>Msp</i> I endonukleaza	Fermentas, Life Sciences, Litva
<i>Msp</i> I linker 1	Proligo, Sigma Aldrich C., ZDA
<i>Msp</i> I linker 2	Proligo, Sigma Aldrich C., ZDA
NaCl	Merck, Nemčija

Se nadaljuje.

Nadaljevanje - Preglednica 1: Seznam uporabljenih kemikalij

oligonukleotidni za etnik <i>EcoRI</i> (5'-gACTgCgTACCAATTG-3')	Proligo, Sigma Aldrich C.,ZDA
oligonukleotidni za etnik <i>EcoRI*-AC</i> (15 ng/µl)	Proligo, Sigma Aldrich C.,ZDA
*-ozna en z CY5 fluorescentnim barvilom	
oligunukleotidni za etnik <i>MspI</i>	Proligo, Sigma Aldrich C.,ZDA
oligunukleotidni za etnik <i>MspI-TA</i> (15 ng/µl)	Proligo, Sigma Aldrich C.,ZDA
PCR pufer	Fermentas, Life Sciences, Litva
Pepton	Difco Lab., ZDA
Pufer Y+/Tango (2x)	Fermentas, Life Sciences, Litva
Silikagel	Merck, Nemčija
Sladni ekstrakt	Difco Lab., Detroit, Mi., ZDA
<i>Taq</i> DNA polimeraza (5U/µl)	Fermentas, Life Sciences, Litva
TRIS	Sigma Chemical C., ZDA
TRIS-HCl	Sigma Chemical C., ZDA

3.1.2 Laboratorijski pribor

Pri raziskovalnem delu smo uporabili sledeči laboratorijski pribor:

- Laboratorijska steklovina (erlenmajerice, a-e, menzure, pipete, epruvete, infuzijske steklene ke, petrijevke)
- Cepilne zanke
- Nastavki za pipete, Eppendorf, Nemčija
- Mikrocentrifugirke (200 µl, 1500 µl, 2000 µl), Eppendorf, Nemčija
- Objektna in krovna stekelca, Tlos, Hrvatska
- Plastične petrijevke
- Polavtomatska pipeta (0.5 do 10 µl), Proline Pipette, Finska
- Polavtomatske pipete (2 -20 µl, 10 do 100 µl, 100 do 1000 µl), Eppendorf, Nemčija
- Jeklene žibre premera 5 mm
- Laboratorijske rokavice
- Parafilm® M, Sigma Aldrich C., ZDA

3.1.3 Laboratorijske aparature

Pri raziskovalnem delu smo uporabljali aparature, zbrane v preglednici 2.

Preglednica 2: Seznam uporabljenih aparatur

Aparatura	Proizvajalec
Avtoklav A-63C	Kambi , Slovenija
Bunsenov gorilnik	TLOS, Hrvatska
Cenrifuga	Eppendorf, Nemčija
Digestorij Variolab Mobilien W90	Waldner, Nemčija
Digitalna kamera DP12	Olympus, Japonska
Digitalni fotoaparat Camedia C-5050 200M	Olympus, Japonska
Električni transformator za elektroforezo Consort E143	Sigma-Aldrich, MO, ZDA
Elektroforezna banjica E33	Hoefer, CA, ZDA
Homogenizator MM301	Retsch, Nemčija
Inkubator	Kambi , Slovenija
Laminarij IBK 1V2	Iskra, Slovenija
Lupa Steri SV11	Zeiss, Nemčija
Magnetno mealo Rotamix 550MMH	Tehnica, Slovenija
Mikrovalovna pečica	Gorenje, Slovenija
PCR sistem	Eppendorf, Nemčija
pH meter	Metrohm, Švica
Sekvenator ALFexpress®	Pharmacia Biotech, Švedska
Spektrofotometer UV/VIS	Perkin Elmer, MA, ZDA
Tehnica, Santer SD 1000 T	Tehnica, Slovenija
Termoblok	Syngene G box
Transluminator LKB 2001 Macrovue	LKB Bromma, Švedska
UVI software	
Vodna kopel	Pharmacia Biotech, Švedska
Vortex mealo	Tehnica, Slovenija

3.2 GOJI™ A, PUFRI, ZMESI IN GELI

3.2.1 Goji- a

Priprava goji- :

V a-o (1 liter) smo dodali suhe sestavine (razen agarja), magnetno mešalo in večino vode. Na magnetnem mešalniku smo raztopino mешали tako dolgo, dokler se sestavine niso popolnoma raztopile. Po potrebnih smo umerili pH (NaOH za višanje pH, HCl za nizanje), dopolnili vodo do končne volumna, dodali agar in segrevali, dokler se tudi agar ni popolnoma raztoplil. Gojiča smo prelili v večje Elenmeyerjeve steklenice (2 litra), jih prekrili z aluminijasto folijo in avtoklavirali 15 minut pri 121 °C. Gojiča smo v vodni kopeli ohladili na 55 °C in jih aseptično prelili v plastne petrijevke. Strjena gojiča smo shranjevali v hladni sobi pri 4 °C.

Gojiča MEA (trdno gojiča s sladnim ekstraktom ali Malt Extract Agar) (Raper in Thom 1949):

Sladni ekstrakt	20,0 g
Glukoza	20,0 g
Pepton	1,0 g
Agar	20,0 g
dH ₂ O	do 1000 ml

pH 5,3 ± 0,3

Gojiča MEA + X % NaCl

Osnova gojiča je standardno gojiča iz sladnega ekstrakta (MEA), kateremu smo dodali ustrezne količine NaCl (Gunde-Cimerman in sod., 2003):

MEA + 5 % NaCl → 50g NaCl/l

MEA + 15 % NaCl → 150g NaCl/l

MEA + 20 % NaCl → 200g NaCl/l

MEA + 25 % NaCl → 250g NaCl/l

3.2.2 Zmesi

Zmes silikagela in celita (Gerrits van den Ende in de Hoog, 1999)

Silikagel 30 g

Celit 545 15 g

Zmes smo avtoklavirali in shranili v stekleni posodici.

3.2.3 Pufri

Pufer CTAB (Sambrook in sod., 1989)

Tris 2,42 g

NaCl 8,2 g

EDTA 0,74 g

CTAB 2,0 g

Bidestilirana voda (ddH₂O) do 100 ml

pH = 7,5 ± 0,1

Pufer TE (Sambrook in sod., 1989)

Tris 0,12 g

EDTA 0,04 g

dH₂O do 100 ml

pH = 8,0 ± 0,1 (uravnavamo s HCl)

0,5 M EDTA (Sambrook in sod., 1989)

EDTA 186,12 g

dH₂O do 1000 ml

5x Pufer TBE (Sambrook in sod., 1989)

Tris	50,4 g
Borova kislina	27,5 g
EDTA (0,5 M)	20 ml
<u>dH₂O</u>	<u>do 1000 ml</u>

1x pufer TBE za M13

Kot zaločno raztopino smo uporabili 5x pufer TBE in ga red ili z bidestilirano vodo (200 ml TBE(5x) + 800 ml H₂O).

0.5x Pufer TBE za AFLP

Kot zaločno raztopino smo uporabili 5x pufer TBE in ga red ili z bidestilirano vodo (100 ml TBE(5x) + 900 ml H₂O).

5x nana-alni pufer za gelsko elektroforezo (sambrook in sod., 1989)

Bromfenol modro	0.25 g
Ksilen cianol	0.25 g
Glicerol	30 ml
<u>dH₂O</u>	<u>do 100ml</u>

3.2.4 Geli za analizo DNA

1% agarozni gel za elektroforezo (35ml) (Sambrook in sod.,1989)

Agaroza	0,35 g
<u>0,5x TBE pufer</u>	<u>35 ml</u>

Zatehtano agarozo in pufer smo prenesli v 100 ml Erlenmeyerjevo steklenico in jo segrevali v mikrovalovni pe dici dokler se vsa agaraza ni raztopila. Med segrevanjem smo vsebino steklenice ve krat preme-ali in dodajali toliko vode, kot je je izparelo. Ko se je raztopljen agaraza ohladila na približno 40 °C smo ji dodali 7 µl etidijevega bromida s koncentracijo 1 mg/µl, pazljivo preme-ali in vlili v pripravljen model z glavni ki ter po akali da se ohladi in strdi. Nato smo pazljivo odstranili glavni ke.

1,4% agarozni gel za elektroforezo pri metodi prstnega odtisa z za etnikom M13 (160ml)

Agaroza	2,24 g
<u>1x TBE pufer</u>	<u>160 ml</u>

Zatehtano agarozo in pufer smo prenesli v 250 ml Erlenmeyerjevo steklenico in jo segrevali v mikrovalovni pe dici dokler se vsa agaraza ni raztopila. Med segrevanjem smo vsebino steklenice ve krat preme-ali in dodajali toliko vode kot je je izparelo. Ko se je raztopljen agaraza ohladila na približno 40 °C smo jo vlili v pripravljen model z glavni ki ter po akali da se ohladi in strdi. Nato smo pazljivo odstranili glavni ke.

Gel za AFLP

Pri metodi AFLP smo uporabili komercialni poliakrilamidni gel ReproGel® (Amersham Biosciences). Prilofeni raztopini smo zme-ali po navodilih proizvajalca, zlili gel med stekleni plošči z glavnimi kom in ga za 10 minut izpostavili UV flarkom, da je polimeriziral. Nato smo odstranili glavni ke in plošči z gelom vstavili v sistem ALFexpress® ter v banjice dolili 0,5x TBE pufer do oznak.

3.3 UPORABLJENI SEVI

Pri analizah smo uporabili seve navedene v preglednici 3. Seve smo pridobili iz zbirke Ex, ki deluje v okviru IC Mycosmo na Katedri za molekularno genetiko in biologijo mikroorganizmov Oddelka za biologijo BF UL (oznaka glivnih sevov EXF), iz Mikrobiološke zbirke Kemijskega in-tituta (oznaka sevov MZKI) in iz zbirke CBS (Centraalbureau voor Schimmelcultures, Utrecht, Nizozemska; oznaka sevov CBS). Vključili smo tudi dva seva, HWEVOL1C in HWEVOL40, ki sta bila daljša inkubirana v tekočem gojišču na stresalniku, pri visoki koncentraciji NaCl ali izvorno EXF-225.

Preglednica 3: Seznam uporabljenih sevov.

Oznaka seva			Geografsko poreklo	Substrat
CBS	MZKI	EXF		
	B-1026	EXF-9	Španija, Santa Pola	soline
	B-1016	EXF-12	Španija, Santa Pola	soline
	B-1021	EXF-15	Španija, Ebre Delta	soline
	B-1019	EXF-16	Španija, Ebre Delta	soline
	B-1027	EXF-18	Španija, Ebre Delta	soline
	B-1015	EXF-19	Španija, Santa Pola	soline
	B-1017	EXF-20	Španija, Santa Pola	soline
	B-1025	EXF-29	Španija, Ebre Delta	soline
	B-808	EXF-34	Slovenija, Sečovlje	soline
	B-1023	EXF-96	Španija, Santa Pola	soline
	B-1010	EXF-100	Španija, Santa Pola	soline
	B-1014	EXF-108	Španija, Santa Pola	soline
	B-745	EXF-112	Slovenija	soline
	B-1011	EXF-120	Španija, Santa Pola	soline
CBS 107.67	B-800	EXF-151	Portugalska	človek
	B-806	EXF-154	Slovenija, Sečovlje	soline
CBS 359.66	B-801	EXF-155	Surinam	človek
CBS 115.90	B-796	EXF-157	Brazilija	ledvica krastače
CBS 100496	B-955	EXF-166	Grčija, Delos	marmorni kip
CBS 111.31	B-799	EXF-171	Brazilija	človek
CBS 705.76	B-794	EXF-177	Francija	človek
CBS 100457	B-736	EXF-225	Slovenija, Sečovlje	soline
				Se nadaljuje.

Nadaljevanje - Preglednica 3: Seznam uporabljenih sevov				
	B-1009	EXF-239	Španija, Santa Pola	soline
	B-739	EXF-241	Slovenija, Sečovlje	soline
	B-737	EXF-247	Slovenija, Sečovlje	soline
	B-504	EXF-562	Namibija, Atlantski ocean	morska voda
	B-2513	EXF-2514	Portoriko	soline
	B-2514	EXF-2515	Portoriko	soline
	B-2516	EXF-2516	Portoriko	soline
	B-2579	EXF-2579	Portoriko	soline
		EXF-2682	Italija	človek
CBS 117.90		EXF-2683	Brazilija	slana riba
CBS 100456		EXF-2684	Slovenija	soline
CBS 100455		EXF-2685	Slovenija	soline
CBS 373.92		EXF-2686	Španija	plaža
CBS 410.51		EXF-2687	Japonska	zrak
CBS 255.96		EXF-2688	Španija – Kanarski otoki	rastlina – list
CBS 706.76	B-795	EXF-2689	Senegal	rastlina – list
CBS 707.76		EXF-2690	Šrilanka	sajasta plesen
	B-811	EXF-2782	Slovenija, Sečovlje	soline
	B-819	EXF-2783	Slovenija, Sečovlje	soline
	B-904	EXF-2784	Slovenija, Sečovlje	soline
	B-910	EXF-2785	Slovenija, Sečovlje	soline
	B-915	EXF-2786	Slovenija, Sečovlje	soline
	B-968	EXF-2787	Slovenija, Sečovlje	soline
	B-977	EXF-2788	Slovenija, Sečovlje	soline
		HWEVOL1C*	Slovenija, Sečovlje	soline
		HWEVOL40*	Slovenija, Sečovlje	soline

*- Izvorno EXF-225

3.4 METODE

Ko smo pridobili vse seve, smo jih vrti nacepili na petrijevke z gojičem MEA in jih inkubirali 14 dni pri sobni temperaturi (~25 °C). Kolonije zrastle na tem gojiču smo uporabili kot izvorne za nacepljanje gojič za nadaljnje morfološke analize in molekularno genetske analize.

3.4.1 Molekularno genetske analize

Za molekularno genetske analize vseh sevov smo po predhodni izolaciji DNA uporabili metodo AFLP (polimorfizem dolfinje pomnoflenih delov). Z izbranimi sevi smo izvedli tudi metodo prstnega odtisa z nukleotidnim za etnikom bakteriofaga M13 (v nadaljevanju: M13 fingerprinting).

3.4.1.1 Izolacija genomske DNA

Genomsko DNA smo izolirali po nekoliko spremenjenem klasi nem protokolu za izolacijo glivne DNA (Zalar in Gunde-Cimerman, 2002). V mikrocentrifugirke z oglatim dnom (2 ml) smo dodali jekleno kroglico (ϕ 5 mm) in zmes silikagela in celita (~0,5 g) ter jih avtoklavirali 15 minut pri 121 °C. V tako pripravljeno mikrocentrifugirko smo odpipetirali 300 μ l CTAB pufra. S sterilno spatulo smo v pufer prenesli pribiljno 2cm² dva tedna starega micelija, vzgojenega na agarnem gojiču MEA. Micelij smo homogenizirali s homogenizatorjem, in sicer 1 minuto pri frekvenci 30 tresljajev na minuto. Dodali smo dodatnih 200 μ l CTAB pufra in za 2 sekundi pretresli z vorteks mečalom, nato pa homogeniziran micelij inkubirali 2 uri v vodni kopeli pri temperaturi 65 °C. Po inkubaciji smo v digestoriju v mikrocentrifugirko dodali 500 μ l kloroforma, za 2 sekundi pretresli na vorteks mečalu in mečano centrifugirali 5 minut pri 14000 obr/min. Zgornjo vodno fazo smo odpipetirali v sterilno mikrocentrifugirko, ponovno dodali 500 μ l kloroforma, premečali na vorteksu in centrifugirali 5 minut pri 14000 obr/min. Postopek smo ponovili vodno fazo, dodali 500 μ l kloroforma, premečali in centrifugirali 5 minut pri 14000 obr/min ter ponovno previdno odpipetirali zgornjo vodno fazo v sterilno mikrocentrifugirko. Nato smo vodni fazi dodali dvakratni volumen 96% etanola ohlajenega na -20 °C, pazljivo ročno premečali, zmes vodne faze in etanola pa inkubirali eno uru na -20 °C. Po inkubaciji smo zmes centrifugirali 5 minut pri 14000 obr/min in pazljivo odpipetirali supernatant. Usedljivo smo sprali s 500 μ l 70% etanolom, centrifugirali 5 minut pri 14000 obr/min in pazljivo odpipetirali etanol. Pelet (sedaj

DNA) smo osušili na zraku do suhega (~30 min), resuspendirali v 97,5 µl TE pufra, dodali 2,5 µl RNAAze in inkubirali 30 minut v vodni kopeli pri temperaturi 37 °C. Vzorce DNA smo shranjevali na -20 °C.

3.4.1.2 Agarozna gelska elektroforeza

Uspešnost izolacije DNA in uspešnosti reakcij s polimerazo smo preverjeli z agarozno gelsko elektroforezo.

Po receptu smo pripravili 1% agarozni gel (3.2.4). Gel smo z nosilcem vred odstranili iz modela ter ga prestavili v banjico za elektroforezo. Banjico smo napolnili z 0,5x pufom TBE, tako da je bil gel popolnoma prekrit (Sambrook in sod., 1989).

Na traku parafilma smo si pripravili vzorce, ki smo jim dodali nanašni pufer (kon en volumen 7 µl) in jih s pipeto prenesli v luknjice na gelu. V prvo luknjico na gelu smo nanesli standardno lestvico (GeneRuler™ 100 bp Plus), v drugo luknjico negativno kontrolo, ki je namesto vzorca vsebovala destilirano vodo, v naslednje pa vzorce. Elektroforeza je potekala pod napetostvjo 90V približno 30 minut. Po koncu elektroforezi smo gel vzeli iz banjice, odstranili iz nosilca ter gel fotografirali na transiluminatorju, nato fotografijo obdelali z raunalniškim programom UVI.

3.4.1.3 Metoda prstnega odtisa z nukleotidnim za etnikom bakteriofaga M13 (M13 fingerprinting)

Z izolirano DNA izbranih sevov smo opravili metodo prstnega odtisa z za etnikom M13. Po spodnjem protokolu smo pripravili mešanico za verifljivo reakcijo s polimerazo (prilagojeno po Sonjak in sod., 2007). Vključno smo negativno kontrolo (namesto DNA smo dodali enako količino destilirane vode).

Priprava 25 µl mešanice za (PCR) (količine za 1 vzorec)

PCR pufer (10x)	2,5 µl
MgCl ₂ (25mM)	1,5 µl
dNTP (10mM)	0,5 µl
M13 primer (20µM)	1,0 µl
Taq DNA polimeraza (5U/µl)	0,2 µl
ddH ₂ O	18,8 µl
<u>DNA</u>	<u>0,5 µl</u>
	<u>25 µl</u>

Verifino reakcijo s polimerazo smo opravili s cikličnim sistemom Eppendorf po sledećem programu:

Temperatura	Trajanje	Utežilo ciklov
95 °C	5 min.	
93 °C	45 sek.	
50 °C	60 sek.	
72 °C	60 sek.	
72 °C	6 min	
4 °C	0	

Sledilo je preverjanje prisotnosti fragmentov z gelsko elektroforezo na 1 % agaroznem gelu v 0,5x TBE pufru z negativno kontrolo (destilirano vodo) (3.4.1.2).

S podaljšano gelsko elektroforezo smo nato ločili pomnolene fragmente. Pripravili smo 1,4 % gel z agarozo v 1x TBE pufru. (3.2.4). 25 µl PCR produkta smo dodali 5 µl nanačnega pufra z barvilom. Vključili smo tudi 2 µl 1 kb lestvice Gene ruler. Vzorce z barvilom smo nanesli v luknjice na gelu. Dodali smo –e negativno kontrolo – destilirano vodo z dodanim barvilkom. Elektroforeza je tekla 3 ure in 30 minut na napetosti 90 V. Po končani elektroforezi smo gel

obarvali. V banjico smo nalili 250 ml 1x TBE pufera, ki smo mu dodali 15 µl etidijvega bromida. Gel smo barvali 20 minut, nato smo pufer odlili in gel namakali – e 20 minut v destilirani vodi. Gel smo nato fotografirali na transluminatorju in obdelali z raunalniškim programom UVI.

3.4.1.4 Polimorfizem dolfinje pomnovenih delov (AFLP)

S pridobljenimi vzorci DNA vseh sevov smo izvedli AFLP analizo.

Preverjali smo tudi ponovljivost metode, tako da smo DNA določeni sevov neodvisno izolirali dvakrat in jih obravnavali kot različne vzorce.

Polimorfizem dolfinje pomnovenih delov je genotipizacijska metoda, ki sestoji iz večih korakov:

1. Restrikcija genomske DNA

Z merjenjem absorbance pri 260 nm in 280 nm v stekleni kivetki, na spektrofotometru, smo določili istost in izračunali koncentracijo izolirane kromosomske DNA. Z redenjem z destilirano vodo smo pripravili 7,5 µl raztopine, ki je vsebovala 250 ng DNA. Restriktijsko mehanizmo smo pripravili po sledenem protokolu (prilagojeno po Sonjak in sod., 2007).

Priprava 20 µl restriktijske mehanice (količine za 1 vzorec):

Pufer Y+/Tango 2x	4 µl
EcoRI (10U/ 1)	0,125 1
MspI (10U/ 1)	0,125 1
ddH ₂ O	8,25 1
DNA	7,5 1
	<u>20 1</u>

Da smo preprečili nezaflejeno delovanje encimov, smo restrikcijsko meaanico pripravljali na ledu. V sterilno mikrocentrifugirko (1,5 ml) smo odpepitirali N+1 kratno količino reagentov (N=tevilo vzorcev, 1-rezerva), po sledenem vrstnem redu: bidestelirana voda in pufer, raztopino smo dobro premešali ter dodali restrikcijske encime in rahlo premešali. V mikrocentrifugirke (200 l) smo v vsako odpepitirali 7,5 l vzorca DNA in 12,5 l restrikcijske meaanice.

Vzorce z restrikcijsko meaanico smo inkubirali 3 ure na vodni kopeli pri 37 °C. Po inkubaciji smo za nekaj sekund vzorce prestavili v centrifugo, da smo sprali morebitne sestavine s stene mikrocentrifugirke na dno. Sledila je inaktivacija restrikcijskih endonukleaz v vodni kopeli za 20 minut pri 65 °C.

2. Priprava adapterjev

Od proizvajalca podane koncentracije založnih sestavin smo razredili do fletenih koncentracij. Meaanici adapterjev *EcoRI* in *MspI* smo pripravili ločno po sledenem protokolu (prilagojeno po Sonjak in sod., 2007):

<u>Priprava 40 l adapterja EcoRI (5 pmol/ l)</u>		
<i>EcoRI</i> linker 1 (1 g/ l)	0,58	l
<i>EcoRI</i> linker 2 (1 g/ l)	0,54	l
TrisHCl (1M, pH=7,7)	10	l
<u>ddH₂O</u>	28,88	l
	<u>40</u>	<u>l</u>

<u>Priprava 40 l adapterja MspI (50 pmol/ l)</u>		
<i>MspI</i> linker 1 (1 g/ l)	6,49	l
<i>MspI</i> linker 2 (1 g/ l)	6,45	l
TrisHCl (1M, pH=7,7)	10	l
<u>ddH₂O</u>	17,06	l
	<u>40</u>	<u>l</u>

Mikrocentrifugirki z me-anicama adapterjev smo dali v segret termoblok (98°C), ga izključili, nato po akali (vsaj 30 minut), da je temperatura padla na 25°C . S tem smo zagotovili denaturacijo in nato postopno prileganje enoverifnih linkerjev v dvooverifne adapterje.

3. Ligacija adapterjev

Ligacija je potekala po sledečem protokolu (prilagojeno po Sonjak in sod., 2007):

Priprava 25 μl ligacijske me-anice (količine za 1 vzorec)

Adapter <i>Eco</i> RI	0,5	1
Adapter <i>Msp</i> I	0,5	1
Ligacijski pufer (10x)	0,5	1
Ligaza T4 (1 U/ μl)	0,1	1
ddH ₂ O	3,4	1
<u>Restrikcijski vzorec</u>	<u>20</u>	<u>1</u>
	<u>25</u>	<u>1</u>

Ligacijsko me-anico smo pripravljali na ledu. V sterilno mikrocentrifugirko (1,5 ml) smo odpepitirali N+1 kratno količino reagentov (N-tevilo vzorcev, 1-rezerva), po sledečem vrstnem redu: bidestelirana voda, ligacijski pufer in oba adapterja, raztopino smo dobro premešali, dodali ligazo in rahlo premešali. V mikrocentrifugirke (200 μl) smo v vsako odpepitirali 20 μl restrikcijskega vzorca in 5 μl ligacijske me-anice.

Vzorce z ligacijsko me-anico smo inkubirali 3 ure v vodni kopeli pri 37°C . Po inkubaciji smo za nekaj sekund vzorce prestavili v centrifugo, da smo sprali morebitne sestavine s stene mikrocentrifugirke na dno. Sledila je inaktivacija ligaze v vodni kopeli za 10 minut pri 65°C .

4. Predhodno pomnoflejanje

Predhodno pomnoflevanje je potekalo po sledečem protokolu (prilagojeno po Sonjak in sod., 2007):

Priprava 25 µl me-anice za PCR (količine za 1 vzorec)

PCR pufer (10x)	2,5 µl
MgCl ₂ (25 mM)	1,5 µl
dNTP (10 mM)	0,5 µl
oligonukleotidni za etnik EcoRI (75 ng/ µl)	0,5 µl
oligunukleotidni za etnik MspI (75 ng/ µl)	0,5 µl
Taq DNA polimeraza (5U/µl)	0,125 µl
ddH ₂ O	16,875 µl
<u>restrikcijsko-ligacijski vzorec</u>	<u>2,5 µl</u>
	<u>25 µl</u>

Me-anico za PCR smo pripravljali na ledu. V sterilno mikrocentrifugirko (1,5 ml) smo odpepitirali N+1 kratno količino reagentov (N-tevilo vzorcev, 1-rezerva), po sledečem vrstnem redu: bidestelirana voda, pufer, MgCl₂, dNTP in oba oligonukleotidna za etnika, raztopino smo dobro premešali, dodali polimerazo in rahlo premešali. V mikrocentrifugirke (200 µl) smo v vsako odpepitirali 2,5 µl restrikcijsko-ligacijskega vzorca in dodali 22,5 µl me-anice za predhodno pomnoflevanje.

Predpomnoflevanje je potekalo s cikličnim sistemom Eppendorf po sledečem programu.

<u>Temperatura</u>	<u>Trajanje</u>	^T _M	<u>tevilo ciklov</u>
94 °C	30 sek.		
56 °C	60 sek.	20	
72 °C	60 sek.		

Uspešnost reakcije s polimerazo smo preverili z elektroforezo na 1% agaroznem gelu z etidijevim bromidom.(3.4.1.2)

5. Pomnoflevanje

Pomnoflevanje je potekalo po sledećem protokolu (prilagojeno po Sonjak in sod., 2007):

Priprava 10 µl me-anice za PCR (količine za 1 vzorec)

PCR pufer (10x)	1 µl
MgCl ₂ (25 mM)	0,6 µl
dNTP (10 mM)	0,2 µl
oligonukleotidni za etnik EcoRI*-AC (15 ng/µl)	1 µl
oligonukleotidni za etnik MspI-TA (15 ng/µl)	1 µl
Taq DNA polimeraza (5U/µl)	0,06 µl
ddH ₂ O	4,14 µl
<u>Preamplifikacijski vzorec</u>	<u>2 µl</u>
	<u>10 µl</u>

Uporabili smo oligonukleotidna za etnika z dodanimi dvema selektivnima nukleotidoma, in sicer MspI-TA in EcoRI-AC. Slednji je bil označen z fluorescentnim barvilkom Cy5 (*).

Me-anico za PCR smo pripravljali na ledu. V sterilno mikrocentrifugirko (1,5 ml) smo odpepitirali N+1 kratno količino reagentov (N=tevilo vzorcev, 1-rezerva), po sledećem vrstnem redu: bidestelirana voda, pufer, MgCl₂, dNTP in oba oligonukleotidna za etnika, raztopino smo dobro premeljali, dodali polimerazo in rahlo premeljali. V mikrocentrifugirke (200 µl) smo v vsako odpepitirali 2 µl preamplifikacijskega vzorca vzorca in dodali 8 µl me-anice za pomnoflevanje.

Predpomnoflevanje je potekalo s cikličnim sistemom Eppendorf po sledećem programu.

Temperatura	Trajanje	Utežilo ciklov
94 °C	30 sek.	
65 °C (-0,7 °C na cikel)	30 sek.	13
<u>72 °C</u>	<u>60 sek.</u>	
94 °C	30 sek.	
56 °C	30 sek.	23
<u>72 °C</u>	<u>60 sek.</u>	
4 °C	0	

6. Priprava vzorcev in poliakrilamidna elektroforeza

Po končanem pomnoflevanju smo vzorcem dodali ekvivalenten volumen nana-alnega barvila za AFLP (10 µl), ki je vsebovalo 99,8% formamida in 0,2% barvila dekstran modro. Vzorce smo denaturirali pri 94 °C 5 minut in jih prenesli na led. Enako smo naredili z lestvico.

10 µl vzorcev smo s pipeto nanesli v luknjice poliakrilamidnega gela (3.2.4 Gel za aflp), ki smo jih pred tem temeljito sprali s pufrom. Namesto vzorca smo v dve luknjici na gelu (približno tretjino razdalje na gelu od vsake strani) nanesli 5 µl lestvice.

Sledila je elektroforeza na sekvenatorju ALFexpress®, pod naslednjimi pogoji:

- Električna napetost 1500 V
- Električni tok 60 mA
- Električna moč 15 W
- Temperatura 55 °C
- Trajanje elektroforeze 450 min.
- Interval vzorjenja 1 sek.

7. Analiza gela

Gel smo analizirali z raunalnim programom Fragment Analyzer ter ro no. Elektroferogram smo pretvorili v matriko, kjer kolona predstavlja sev, vrstica pa vrh na elektroferogramu pri določeni dolfini fragmentu. Če je bil vrh prisoten pri določenem sevu, smo to označili z 1, če je bil odsoten pa z 0. Iz podatkov urejenih v matriko, smo s programom FreeTree (Pavlick in sod., 1999) izračunali podobnost ugotovljenih profilov Jaccard-ovega koeficiente. Za ugotavljanje podobnosti elektroforetskih profilov smo uporabili metodo parnih skupin z aritmetično sredino (UPGMA (»Unweighted Pair Group Method with Arithmetic mean«). Kladogramme smo oblikovali in uredili s programom TreeView (Page 2000).

3.4.2 Morfološke analize

Vse seve smo po dveh tednih rasti na agarju s sladnjim ekstraktom (MEA), tri-to kovno precepili na nove ploče z gojičem MEA z dodano soljo (NaCl), in sicer na pet različnih koncentracij (brez NaCl, 5% NaCl, 15% NaCl, 20% NaCl in 25% NaCl). Ploče smo inkubirali pri sobni temperaturi (~25 °C). Tedensko smo spremljali morfološke makroskopske karakteristike kolonij. Po treh tednih smo na izbranih sevih z diferencialno interferenco kontrastno mikroskopijo opazovali tudi morfološke karakteristike mikroskopskih struktur pri različnih koncentracijah NaCl.

3.4.2.1 Makromorfološki opis

Vse seve smo inkubirali tri tedne na gojiču MEA z različnimi koncentracijami NaCl. Enkrat tedensko smo zapisali spremembe. Opazovali smo premer, barvo in strukturo kolonij.

3.4.2.2 Mikromorfološki opis

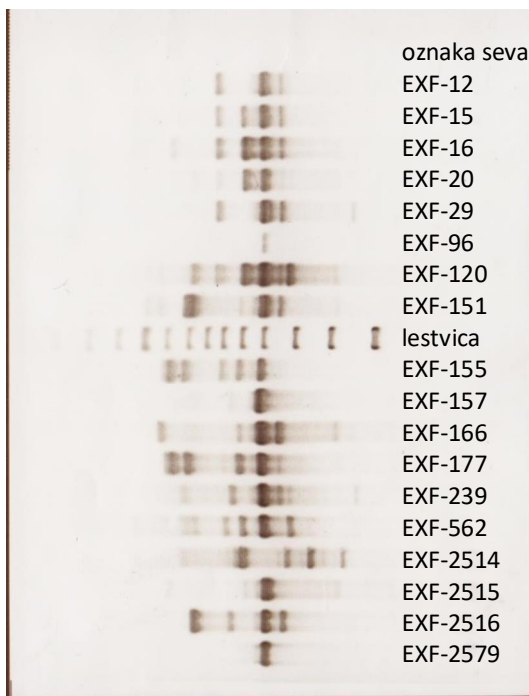
Po treh tednih inkubacije smo iz centra in roba kolonij pripravili mikroskopske preparate v 60 % mlečni kislini. Preparate smo mikroskopirali in fotografirali z mikroskopom Olympus BX 51 in kamero Olympus DP15. Z mikroskopijo z diferencialnim interferenčnim kontrastom smo opazovali prisotnost, obliko, dolžino in širino konidijev, hif in meristematskih skupkov, melanizacijo in tvorbo konidijev ter brstenje kvasnih celic.

4 REZULTATI

4.1 MOLEKULARNO GENETSKE ANALIZE

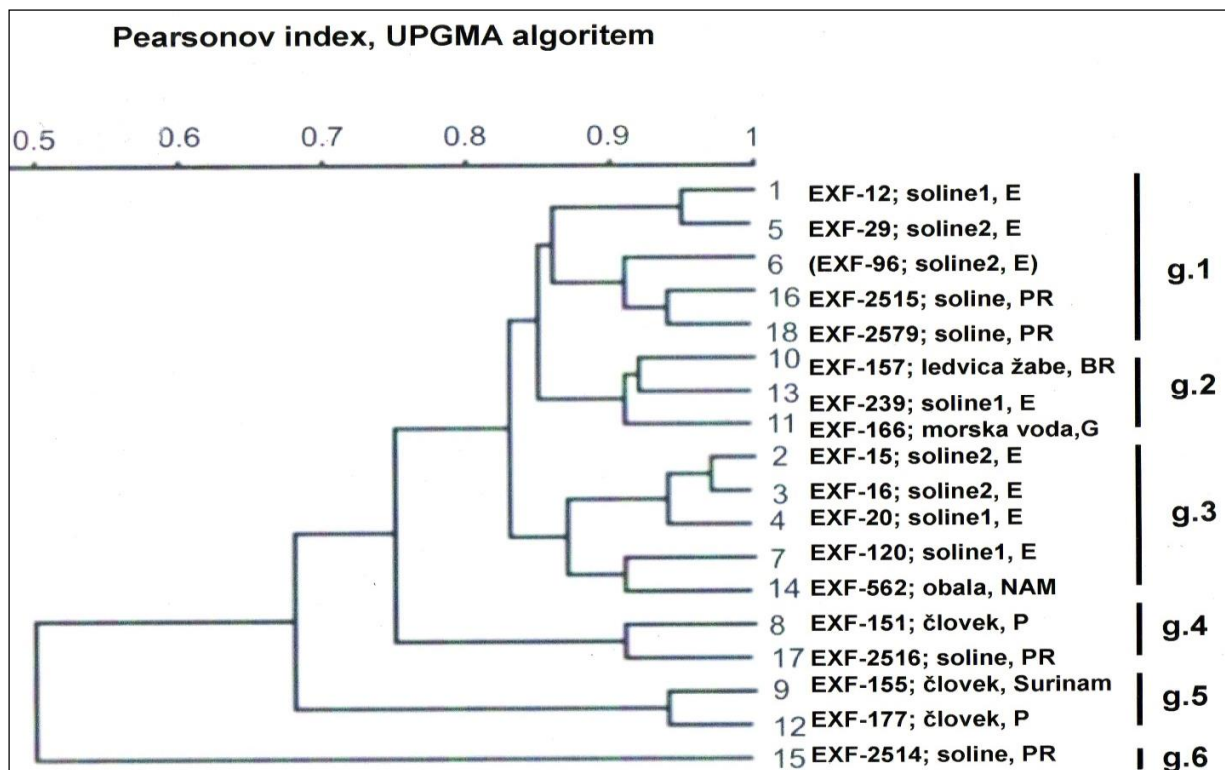
4.1.1 Metoda prstnega odtisa z nukleotidnim za etnikom bakteriofaga M13

Z verflino reakcijo s polimerazo (PCR) smo DNA vzorce 18-ih sevov pomnofili z oligonukleotidnim za etnikom faga M13. Pridobljene pomnoflike smo lo ili na dalj-i elektroforezi. Po elektroforezi, so bili na gelu po barvanju in fotografiraju s transluminatorjem vidni pomnofeni fragmenti prikazani na Slika 2. Opazili smo 12 polimorfnih znakov. Pri posameznem vzorcu se je pomnofilo 1 ó 7 fragmentov.



Slika 2: Fotografija gela pomnoščenih fragmentov ločenih z elektroforezo pri metodi prstnega odtisa z zatemnikom M13

Gel smo razunalni analizirali in izrisali dendrogram podobnosti (Slika 3). Sevi so se zdruffili v pet skupin (na sliki označene kot g.x, kot grupa in -tevilka). Sevi izolirani s človeka in sev iz ledvic flabe so se grupirali v tri skupine, skupaj z nekaterimi solinskimi sevi. V prvi skupini so le solinski sevi, prav tako so se v tretjo skupino zdruffili sevi iz solin in sev izoliran z obale v Gradiški. Le peta skupina (g. 5) vsebuje seva izolirana s človeka.



Slika 3: Dendrogram podobnosti pridobljen po metodi prstnih odtisov za etnika M13

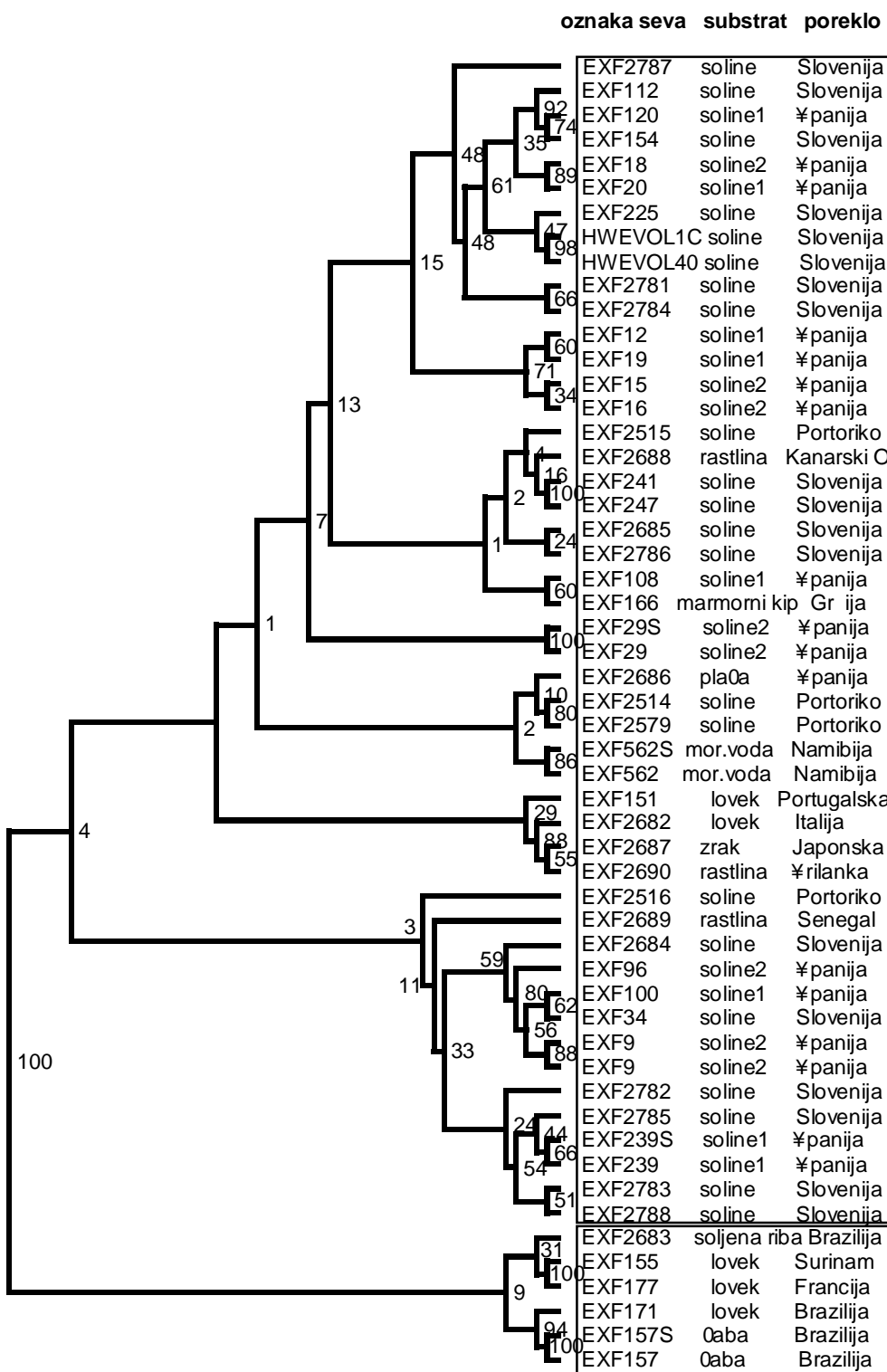
4.1.2 Polimorfizem dolfinje pomnophlenih delov (AFLP)

Pri analizi elektroferograma smo upoštevali pomnophlene lise v razponu velikosti od 50 do 710 baznih parov. Pridobljeni AFLP profili so vsebovali 120 polimorfnih lis. Posamezen vzorec je vseboval od 12 do 31 lis, povprečno 21 lis. Z metodo vezanja - ocenjevanje kvalitete

filogenetskih dreves (bootstrapping) s 1000 ponovitvami smo ocenili ponovljivost posamezne veje na filogenetskem drevesu.

Na pridobljenem filogenetskem drevesu (Slika 4) opazimo med sabo jasno ločeni dve skupini. Znotraj prve velike skupine bi lahko med seboj ločili več podskupin, vendar zaradi nizke vrednosti ponovljivosti vej, po metodi vezanja (<15 %), podskupine niso ločene z zadostno podporo. Izjema je veja z dokaj močno ponovljivostjo (48 %), ki vsebuje izključno solinske seve - devet iz Slovenije in tri iz Tropične Amerike. Druga skupina vsebuje izključno nesolinske seve - tri seve izolirane s lovcem (Brazilija, Francija, Surinam), sev izoliran iz ledvic krastača (Brazilija) in sev izoliran iz soljene ribe (Brazilija). Vse ostale seve najdemo znotraj prve velike skupine. Ti vključujejo seve izolirane s lovcem, solinske seve iz Slovenije, Tropične Amerike in Portorika, seve izolirane iz morske vode in seve izolirane z drugih površin, z različnim geografskim porekлом. Seva HWEVOL1C in HWEVOL40 sta se združila skupaj z izvornim sevom EXF-225.

Preverili smo tudi ponovljivost metode. Vzorce izolirane DNA petih sevov (EXF-9, EXF-166, EXF-247, EXF-2514, HWEVOL1C) smo pripravili in dodali na gel v dveh ponovitvah. Vzorci istega seva so dali identični AFLP profil z visoko podporo (> 88%). Vzorcev z identičnimi profili s 100% ponovljivostjo, zaradi preglednosti nismo dvakrat vključili na dendrogram. DNA vzorcev sevov (EXF-157, EXF-239, EXF-562, EXF-29) smo neodvisno izolirali dvakrat in tako preverili ponovljivost in občutljivost metode AFLP na ena in izolacije DNA. Tudi v tem primeru so se AFLP profili posameznih sevov na dendrogramu združili z močno ponovljivostjo.



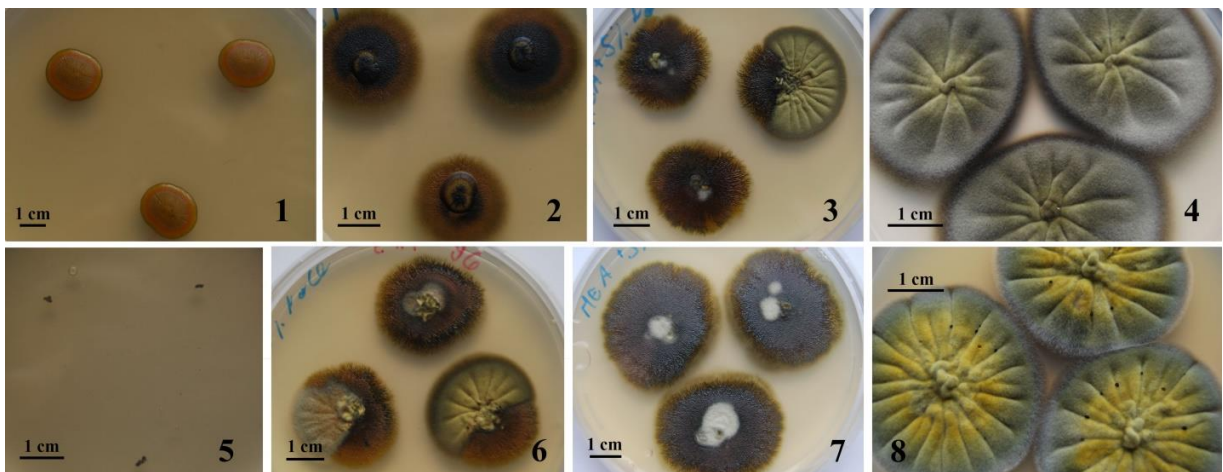
Slika 4: Dendrogram izrisan na podlagi matrike podobnosti profilov AFLP.

4.2 MORFOLOŠKE ANALIZE

4.2.1 Makromorfološki opis

Vse seve smo inkubirali tri tedne na goji- u MEA z različnimi koncentracijami NaCl, prisobni temperaturi (~25 °C). Enkrat tedensko smo zapisali spremembe. Opazovali smo premer, barvo in strukturo kolonij.

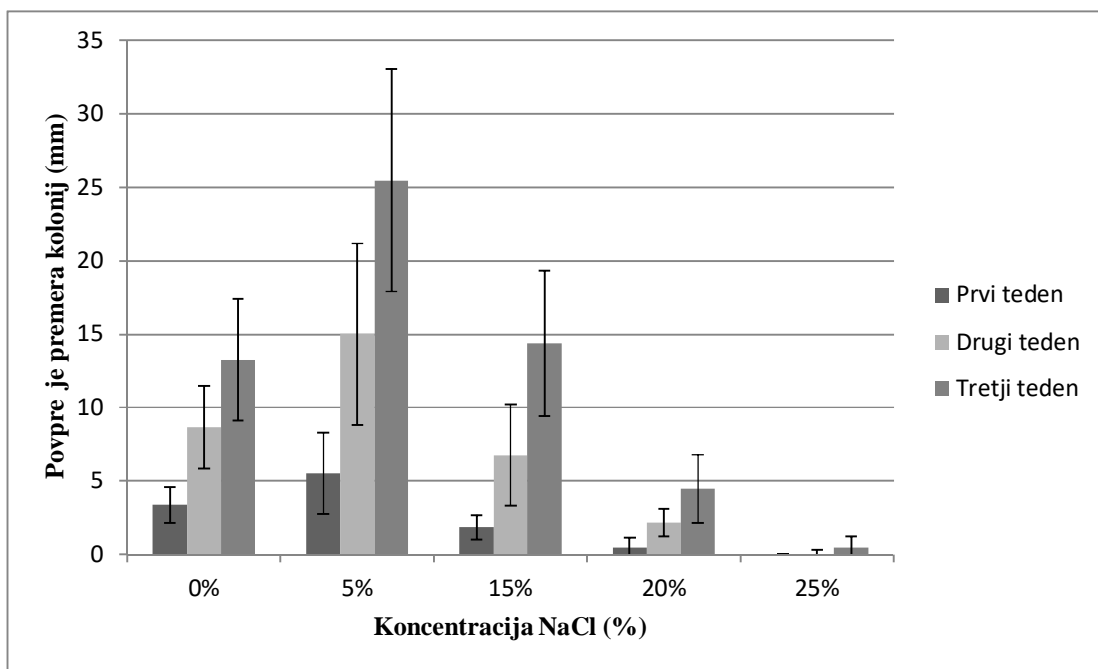
Morfologija kolonij se je tekom inkubacije spremenjala. Oblika rasti je bila odvisna tudi od koncentracije NaCl v goji- u. Na goji- u brez NaCl in na goji- u s 5 % NaCl je prvi teden rasti, skoraj izključno prevladovala kvasna oblika. Kolonije so bile sprva rumene do temno oranflne barve, drugi teden so postajale temnejše, do tretjega tedna pa je večina sevov že imela kolonije rne barve. Le redke so ostale tudi tretji teden inkubacije rumene do oranflne barve (Slika 5 - 1). Tudi pri višjih koncentracijah NaCl v goji- u smo sprva opazili kvasno obliko rasti, ki pa je bila že prvi teden melanizirana. Kasneje se je pojavila filamentozna oblika rasti, ki so izrašle v globino goji- a, imeli pa so vedno mazav, svetle videz, saj so lateralno brstele, zaradi česar so kolonije izgledale kvasno. Ponekod je bil jasno viden prehod iz kvasne v filamentozno rast (Slika 5 - 2). Pri nekaterih sevih so se pojavljale zračne hife hidrofobe hife, ki so izrašle nad površino goji- a in dajale koloniji izredno filamentozen videz. Zračni micelij je bil prisoten pogosteje, kot je bil na inkubacije daljši in koncentracija NaCl v goji- u višja. Nekatere kolonije so bile popolnoma prekrite z zračnim micelijem (Slika 5 - 4), lahko pa je nastopil v obliki filamentoznih sektorjev (Slika 5 - 3). Na goji- u brez NaCl, s 5 % NaCl in 15 % NaCl, so brez izjeme rastli vsi sevi. Na goji- u z 20 % NaCl so po treh tednih inkubacije rastli vsi sevi, razen EXF-2687, ki je bil izoliran iz zraka na Japonskem. Na goji- u s 25 % NaCl je bila rast slaba, kolonije so bile po treh tednih inkubacije komaj opazne, večinoma velike 1 milimeter ali manj (Slika 5 - 5).



Slika 5: Različni tipi kolonij *H. werneckii* na goji-u MEA.

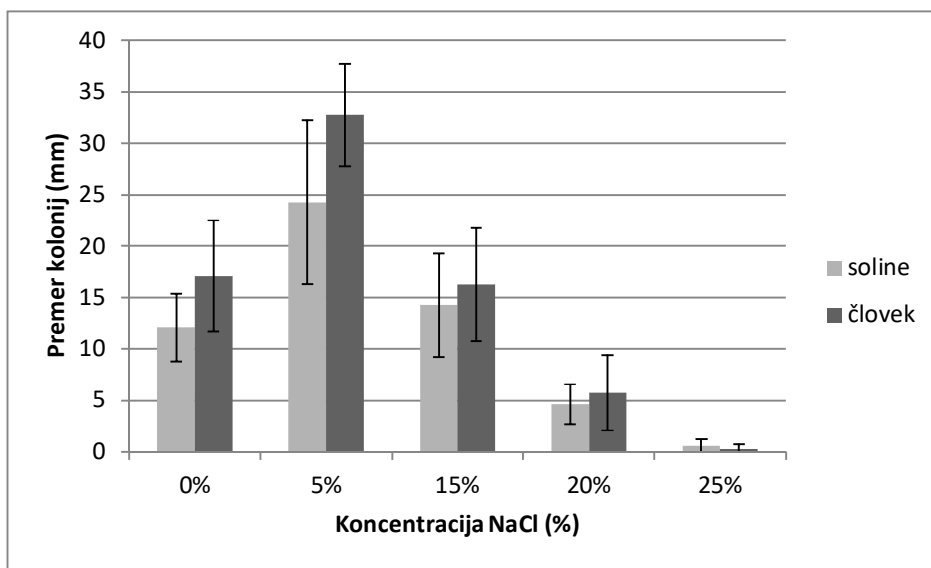
Legenda: **1:** EXF-112 na MEA ó rumena kavsna oblika; **2:** EXF-241 na MEA + 5 % NaCl ó rna kvasna oblika s prehodom v filamentozno obliko; **3:** EXF-2785 na MEA + 5 % NaCl ó filamentozna obika s sektorji zra nega micelija, premer kolonij: 3 cm; **4:** EXF-171 na MEA + 5 % NaCl ó filamentozna oblika, zra ni micelij; **5:** EXF-100 na MEA + 25 % NaCl ó komaj opazna rast na goji-u z visoko konc. NaCl; **6:** EXF-96 na MEA + 5 % NaCl ó več različnih oblik rasti na isti plošči; **7:** EXF-100 na MEA + 5 % NaCl ó zra ni micelij izraza iz kvasno-filamentozne sredine kolonije; **8:** EXF-171 na MEA ó intenzivna filamentozna oblika rasti, na kolonijah vidne kapljice eksudata.

Velikosti kolonij na goji-u MEA z različnimi koncentracijami NaCl po enem, dveh in treh tednih inkubacije so prikazani v prilogi A. Izračunali smo povprečne vrednosti velikosti kolonij, po treh tednih inkubacije (Slika 6). Sevi so najhitreje in najbolje rastli na goji-u z dodanim 5 % NaCl. Eprav po asneje, so sevi uspevali tudi na goji-ih z večjo koncentracijo NaCl. Rast na goji-u z 25 % NaCl, je bila po treh tednih slaba in komaj opazna, vendar prisotna pri nekaterih sevih. Vsi sevi so uspevali tudi na goji-u brez dodanega NaCl, eprav slabše kot na goji-u s 5 % NaCl.



Slika 6: Povprečja premerov kolonij (s standardnimi odkloni) vseh sevov na goji– u MEA z dodanim NaCl.

Primerjali smo premere kolonij solinskih sevov in sevov izoliranih s loveka, po treh tednih inkubacije (Slika 7). Na vseh goji–ih so bile kolonije sevov izoliranih s loveka v povprečju večje. Razlika je bila bolj očitna na goji–ih brez NaCl in na goji–ih s 5 % NaCl.



Slika 7: Povprečja premerov kolonij (s standardnim odklonom) solinskih sevov in sevov izoliranih s človeka po treh tednih inkubacije na gojišču MEA z dodanim NaCl.

4.2.2 Mikromofološki opis

Lastnosti celic izbranih sevov, pridobljene z mikroskopijo z diferencialnim interferenčnim kontrastom smo zdravili v preglednico (Preglednica 4). Izmerili smo pet do deset struktur in velikost podali kot povprečno vrednost. Zapisali smo prisotnost in velikost meristematskih skupkov, prisotnost konidiacije, melanizacije in -irino hif ter obliko, velikost, prisotnost brstena in melanizacije pri konidijih. Opazovali smo rob in sredino kolonije, saj so se strukture na različnih območjih kolonije razlikovale.

Preglednica 4: Lastnosti celic izbranih sevov, pridobljene z diferencialno interferenčno mikroskopijo

GOJI -TM E	TM. SEVA	Območje kolonije	HIFE			KVASNE CELICE						MERISTEMATSKI SKUPKI	
			Širina (m)	Konidiacija	Melanizacija	Oblika celic	TM. celic	Dolfinja (m)	Širina (m)	Brstjenje	Melanizacija	Dolfinja (m)	Širina (m)
MEA + 0 % NaCl	EXF-155	sredina				podolgovate	1 - 2	7,2 / 9,5	4 / 4,2	NE	DA		
		rob	3,1	NE	DA	podolgovate	1 - 2	6,2 / 8,8	3 / 3,6	DA	DA		
	EXF-157	sredina				ovalne	1	5,5	5	NE	DA		
		rob				podolgovate	1 - 2	6,2 / 10,1	3,1 / 3,2	DA	DA		
	EXF-177	sredina				podolgovate	2	6,1	3,2	DA	DA		
		rob	2,7	NE	DA								
	EXF-241	sredina				ovalne	1	6,3	5	NE	NE		
		rob	2,6	DA	DA	podolgovate	1 - 2	9	4,5	DA	DA		
	EXF-2687	sredina	3,9	NE	DA	ovalne	1	7,5	6,5	NE	DA		
		rob	2,8	NE	DA	podolgovate	2	11	3,7	DA	DA		
	EXF-2688	sredina				podolgovate	1 - 2	5,6 / 11	4,8 / 5,2	DA	NE		
		rob	3,5	DA	DA	podolgovate	1 - 2	9,3	4,3	DA	NE		
	EXF-2690	sredina				ovalne	1	6,5	6,4	NE	DA		
		rob	3,1	DA	DA	podolgovate	1 - 2	8,6	3,5	DA	DA		
MEA + 5 % NaCl	EXF-155	sredna				podolgovate	1 - 2	5,3 / 10,3	4,3 / 5,4	DA	DA		
		rob	3	DA	DA	podolgovate	1 - 2	6,8 / 9,8	3,6 / 3,8	DA	DA		
	EXF-157	sredina	2,7	DA	DA	podolgovate	1	5,6	3,6	DA	DA		
		rob	3,8	DA	DA	podolgovate	1 - 2	5,8 / 9,1	3,8 / 4	DA	DA		
	EXF-177	sredina				podolgovate	1 - 2	6,2 / 10	3,2	DA	DA		
		rob	2,7	NE	DA								
	EXF-241	sredina				podolgovate	1 - 2	6	3,3	DA	DA		
		rob	3,7	DA	DA	podolgovate	1 - 2	7 / 10	3,7 / 5	DA	DA		
	EXF-2687	sredina				ovalne	1	6,8	6,1	NE	DA		
		rob	3	DA	DA	podolgovate	1 - 2	9,2	5,3	NE	DA		

Se nadaljuje.

Nadaljevanje - Preglednica 4: Lastnosti celic izbranih sevov, pridobljene z diferencialno interferenčno mikroskopijo													
MEA + 15 % NaCl	EXF-2688	sredina	2,6	DA	DA	podolgovate	1 - 2	6 / 7,8	4,6 / 5,4	DA	DA		
		rob	3,6	DA	DA	podolgovate	1 - 2	7 / 11,5	4,3 / 4,4	DA	DA		
	EXF-2690	sredina				ovalne	1 - 2	7 / 13	6,5 / 7,6	NE	DA		
		rob	4,1	DA	DA	ovalne	1 - 2	7,2 / 10,3	5,4 / 5,5	DA	DA		
	EXF-155	sredina				podolgovate	1 - 2	5,6 / 10	3,7 / 3,8	DA	DA		
		rob	3,4	DA	DA	podolgovate	1 - 2	5,3 / 7,7	3,4 / 3,2	DA	DA		
	EXF-157	sredina				ovalne	1 - 2	5,3 / 6,8	3,5 / 4,7	DA	DA		
		rob	4,5	DA	DA	podolgovate	1 - 2	5,1 / 8,4	3,7 / 3,9	DA	DA		
	EXF-177	sredina				podolgovate	1 - 2	7 / 9,5	2,7 / 3,6	DA	DA		
		rob	2,9	DA	DA	podolgovate	1	6,8	3	DA	DA		
MEA + 20 % NaCl	EXF-241	sredina				podolgovate	1 - 2	5,2 / 10,7	3,2 / 4,5	DA	DA		
		rob	3,7	DA	DA	podolgovate	1 - 2	5,8 / 9,3	3,1 / 4,1	DA	DA		
	EXF-2687	sredina				ovalne	1	5,5	4,9	NE	NE		
		rob	3,9	NE	DA	podolgovate	1 - 2	6,3 / 9,2	4,4 / 4,9	DA	DA		
	EXF-2688	sredina				podolgovate	1 - 2	4,9 / 7,3	3,3 / 5,8	DA	DA		
		rob	4,4	DA	DA	podolgovate	1 - 2	5,9 / 11,1	3,1 / 3,9	DA	DA		
	EXF-2690	sredina				ovalne	1 - 2	6,7 / 10,6	6,1 / 6,4	DA	DA		
		rob	4,3	DA	DA	podolgovate	1, 2 in ve	5 / 7 / 13	3 / 4 / 5	DA	DA		
	EXF-155	sredina				podolgovate	1 - 2	4,9	2,9	DA	DA		
		rob	3,7	DA	DA	podolgovate	1 - 2	6 / 7,4	2,8 / 3,3	DA	DA		
	EXF-157	sredina	3,5	DA	DA	podolgovate	1 - 2	6,8 / 9,1	4,7 / 5,7	DA	DA		
		rob	5,4	DA	DA	podolgovate	1 - 2	5,3 / 7,5	4,1 / 4,6	DA	DA	11,7	6,2
	EXF-177	sredina	3,6	DA	DA								
		rob	4,5	DA	DA								
	EXF-241	sredina				podolgovate	1 - 2	9,2 / 12	3,6 / 4,1	DA	DA		
		rob	5	DA	DA	podolgovate	1 - 2	7,1 / 11	3,2 / 4,2	DA	DA		
	EXF-2687												

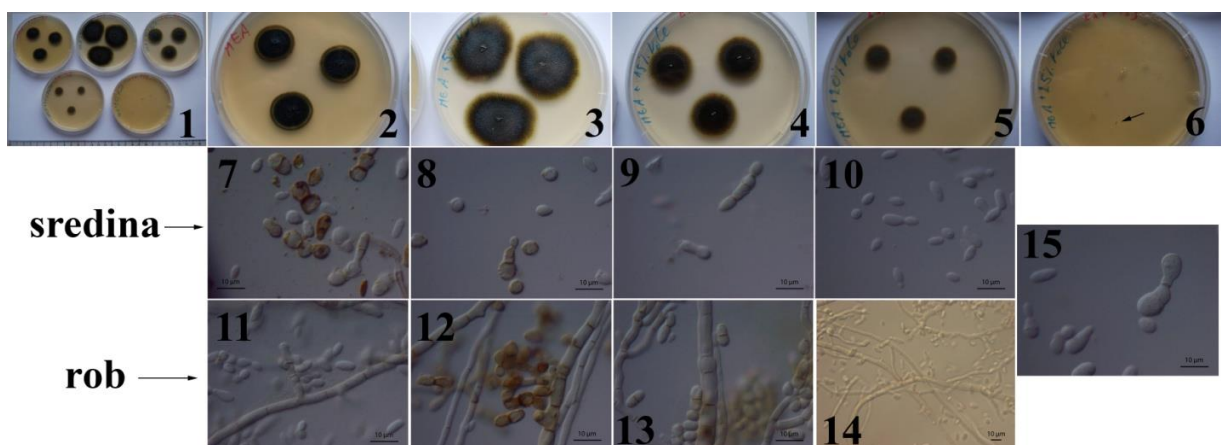
Se nadaljuje.

Nadaljevanje - Preglednica 4: Lastnosti celic izbranih sevov, pridobljene z diferencialno interferenčno mikroskopijo													
MEA + 25 % NaCl	EXF-2688	sredina	2,9	NE	DA	podolgovate	1 - 2	4,9	3,3	DA	DA		
	EXF-2688	rob	4,6	NE	DA	podolgovate	1 - 2	6,3 / 9,5	3,6 / 4,1	DA	DA		
	EXF-2690	sredina				podolgovate	1 - 2	7,0 / 9,7	4,4 / 5,1	NE	DA	11	9
	EXF-2690	rob	6,2	DA	NE	podolgovate	1 - 2	5,7 / 7,7	4,3 / 5,9	NE	DA		
	EXF-155												
	EXF-157					podolgovate	1 - 2	7,5 / 9,9	5,3 / 6,6	NE	NE	17,1	11,2
	EXF-177					podolgovate	1 - 2	6,9 / 10,4	3,8 / 4,3	NE	DA	15,8	9,4
	EXF-241					podolgovate	1 - 2	8,5 / 13,1	4,4 / 4,9	DA	DA		
	EXF-2687												
	EXF-2688												
	EXF-2690												

Legenda: (obarvano polje): Ni prisotnih struktur oz. rasti

Na spodnjih slikah so prikazane makro in mikromorfološke značilnosti izbranih sevov *Hortaea werneckii* na gojiču MEA z različnimi koncentracijami NaCl. Mikroskopirali smo seve izolirane iz različnih habitatov; EXF-155 (*tinea nigra*, Surinam), EXF-241 (soline, Še ovlje, Slovenija), EXF-2687 (zrak, Japonska), EXF-2688 (list rastline *Casuarina equisetifolia*, Kanarski otoki) in EXF 2690 (sajasta plesen na rastlini, Tайланд). Na sliki 13 so zbrane in prikazane značilne strukture različnih sevov vrste *H. werneckii*, na gojiču MEA z dodanimi različnimi koncentracijami NaCl, vidne z diferencialno interferenčno (DIC) mikroskopijo pri 1000x povezavi.

EXF-155 (*tinea nigra*, Surinam): hife smo opazili le na robovih kolonij, pri vseh koncentracijah NaCl, razen pri 25 %. Konidiji so bili tudi na gojiču brez NaCl dobro pigmentirani, slabše so bili pigmentirani na gojiču s povojanimi koncentracijami NaCl. Seveda je uspeval tudi na gojiču s 25 % NaCl, vendar slabo. Meristematskih skupkov nismo opazili.



Slika 8: Makro in mikromorfološke značilnosti seva EXF-155 na gojiču MEA z različnimi koncentracijami NaCl.

Legenda: **1:** rast na gojiču MEA z različnimi koncentracijami NaCl; **2:** MEA; **3:** MEA + 5 % NaCl; **4:** MEA + 15 % NaCl; **5:** MEA + 20 % NaCl; **6:** MEA + 25 % NaCl; **7-10:** mikroskopiranje sredine kolonije pri pripadajoči koncentraciji NaCl; **11-14:** mikroskopiranje roba kolonije pripadajoči koncentraciji NaCl; **15:** mikroskopiranje predela označenega s pomočjo MEA + 25 % NaCl. Povezava mikroskopiranja 1000x, le sl. 14: 400x.

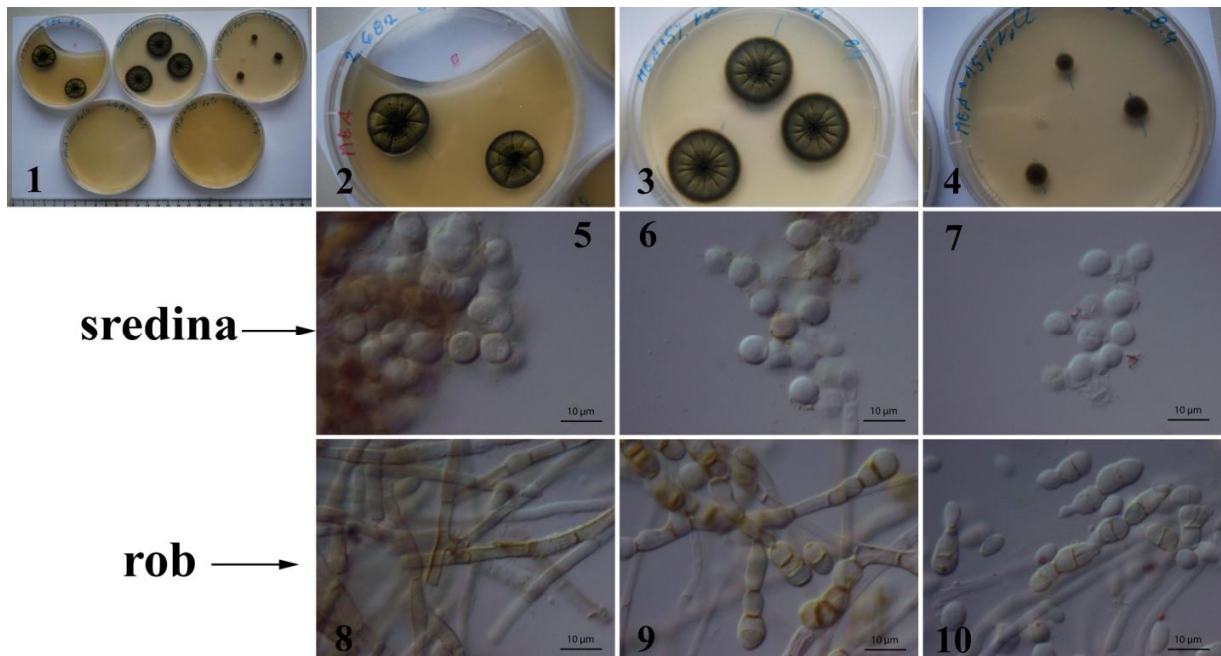
EXF-241 (soline, Se ovlje, Slovenija): Na gojiču brez NaCl so bile celice ovalna, slabo pigmentirane. Pigmentiranost se je povečala na gojičih s povišano koncentracijo NaCl. Hife so bile prisotne le na robu kolonij. Na gojiču z 20 % NaCl, so se hife že debelile in presegale septirale. Rast na gojiču s 25 % NaCl je bila prisotna v kvasni obliki.



Slika 9: Makro in mikromorfološke značilnosti seva EXF-241 na gojiču MEA z različnimi koncentracijami NaCl.

Legenda: **1:** rast na gojiču MEA z različnimi koncentracijami NaCl; **2:** MEA; **3:** MEA + 5 % NaCl; **4:** MEA + 15 % NaCl; **5:** MEA + 20 % NaCl; **6:** MEA + 25 % NaCl; **7-10:** mikroskopiranje sredine kolonije pripadajočih slanostim; **11-14:** mikroskopiranje roba kolonije pripadajočih slanostim; **15:** MEA + 25 % NaCl. Povečava mikroskopiranja: 1000x.

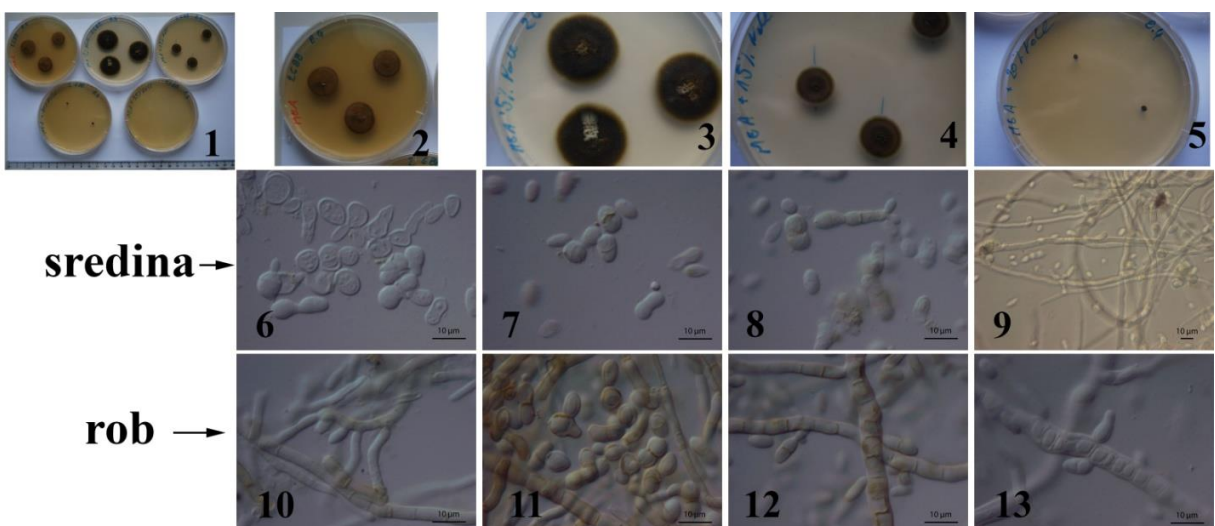
EXF-2687 (zrak, Japonska): V sredini kolonij so bile celice ovalna. Na robovih so bile prisotne hife. Na gojiču s 5 % NaCl, so bili na robovih konidiji večji, tudi do trikrat preveč septirani, z debelo celino steno in močno melanizacijo. Na gojiču s 15 % dodanim NaCl smo opazili tudi vzdolžno septirane konidije. Sev na gojiču s 20 % NaCl in 25 % NaCl ni rastel.



Slika 10: Makro in mikromorfološke značilnosti seva EXF-2687 na gojiču s različnimi koncentracijami NaCl.

Legenda: **1:** rast na gojiču s MEA z različnimi koncentracijami NaCl; **2:** MEA; **3:** MEA + 5 % NaCl; **4:** MEA + 15 % NaCl; **5-7:** mikroskopiranje sredine kolonije pripadajoči konc. NaCl; **8-10:** mikroskopiranje roba kolonije pripadajoči konc. NaCl. Povečava mikroskopiranja: 1000x.

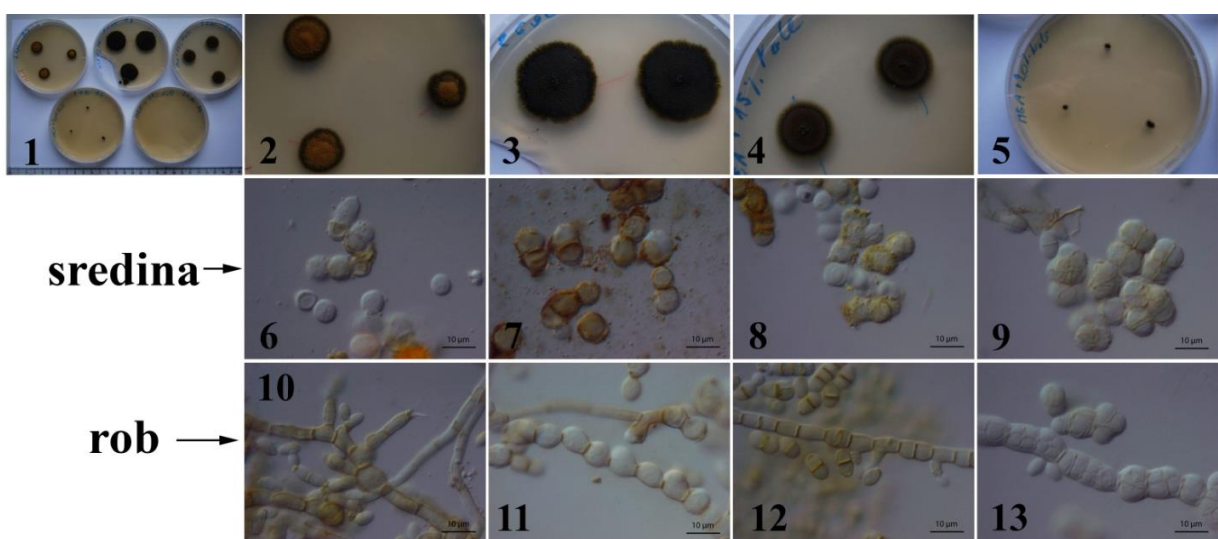
EXF-2688 (List rastline *Casuarina equisetifolia*, Kanarski otoki: Celice s sredine kolonij so bile na gojiču brez NaCl ovalna do ovalne, slabo pigmentirane. Hife so bile prisotne le na robu kolonij. Na gojiču s 5 % NaCl in 15 % NaCl, so bile celice in konidiji močno pigmentirani. Na gojiču z 20 % NaCl so bile hife prekrivane in gosto septirane. Sev na gojiču s 25% NaCl ni rastel.



Slika 11: Makro in mikromorfološke značilnosti seva EXF-2688 na gojiču MEA z različnimi koncentracijami NaCl.

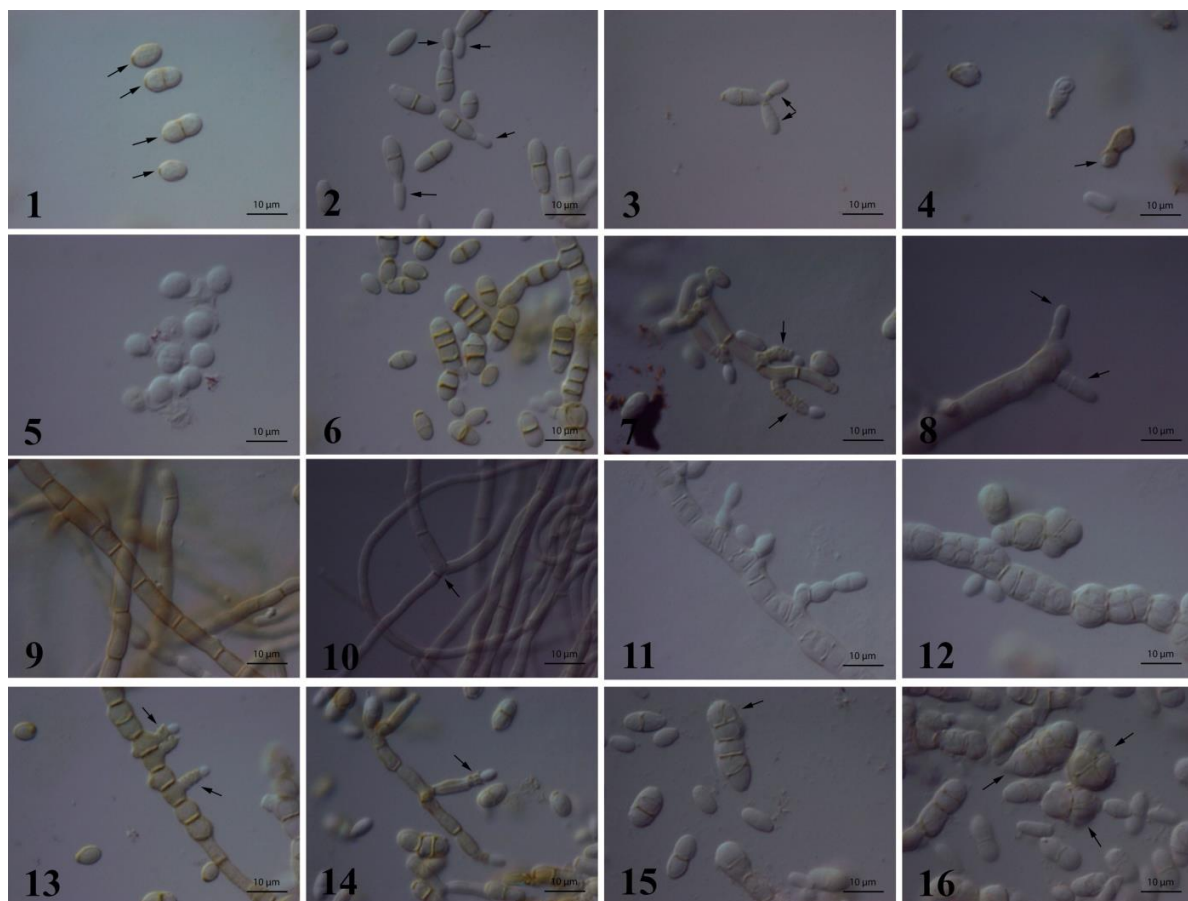
Legenda: **1:** rast na gojiču MEA z različnimi koncentracijami NaCl; **2:** MEA; **3:** MEA + 5 % NaCl; **4:** MEA + 15 % NaCl; **5:** MEA + 20 % NaCl; **6-9:** mikroskopiranje sredine kolonije pripadajoči konc. NaCl; **10-13:** mikroskopiranje roba kolonije pripadajoči konc. NaCl. Povezljivanje mikroskopiranja: 1000x, le sl. 9: 400x.

EXF 2690 (sajasta plesen na rastlini, T. filanca): Celice na sredini kolonij so bile ovalna. Na gojiču brez NaCl so bile celice slabo pigmentirane, pri višji koncentraciji NaCl so imele debele celične stene in bile močno pigmentirane. Na robu kolonij so bile hife na vseh gojičih močno pigmentirane. Na gojiču s 20 % NaCl so bile dobro vidne žiroke, premočno in vzdolžno seprtirane hife, ki so razpadale v meristematske skupke. Sev na gojiču s 25% NaCl ni rastel.



Slika 12: Makro in mikromorfološke značilnosti seva EXF-2690 na gojiču in MEA z različnimi koncentracijami NaCl.

Legenda: **1:** rast na gojiču in MEA z različnimi koncentracijami NaCl; **2:** MEA; **3:** MEA + 5 % NaCl; **4:** MEA + 15 % NaCl; **5:** MEA + 20 % NaCl; **6-9:** mikroskopiranje sredine kolonije pripadajoči konc. NaCl; **10-13:** mikroskopiranje roba kolonije pripadajoči konc. NaCl. Povečava mikroskopiranja: 1000x.



Slika 13: Znanih ilnih struktur različnih sevov vrste *H. werneckii*, na gojiih MEA z dodanimi različnimi koncentracijami NaCl, vidne z diferencialno interferenčnim mikroskopom pri 1000x povezavi.

Legenda: **1:** EXF-2690 - eno in dvoceli ni konidiji z dobro vidno odebeleno celično steno na mestu odcepitve od mati ne celice; **2:** EXF-2688 - dvoceli ini konidiji s polarno polarno cepitvijo h erinskih celic; **3:** EXF-241 - dvoceli ni konidij s sinhrono simpodialno cepitvijo dveh h erinskih celic; **4:** EXF 155 - endogena konidiacija; **5:** EXF-2687 - okrogli enoceli ni konidiji; **6:** EXF-2690 - 0-3x pre no septirani konidiji z debelimi melaniziranimi septami; **7:** EXF-241 - anelidna konidiacija h erinskih celic s konidiogenih celic hif, dobro so vidne obroaste cone konidiacije; **8:** EXF-177 - simpodialna konidiacija s hifne celice; **9:** EXF-2688 - hife z debelo melanizirano celično steno; **10:** EXF-177 - razvezjitev hife; **11:** EXF-2690 - iroke, večkrat pre no septirane hife; **12:** EXF-2690 - debele večkrat pre no in vzdoljno septirane hife, za etek tvorbe meristematskih skupkov; **13:** EXF-2690 - obroaste cone konidiacije po večkrati cepitvi h erinskih celic s konidiogene celice hife; **14:** EXF-241 - obroaste cone konidiacije; **15:** EXF-177 - večkrat pre no in vzdoljno septirane celice, za etek tvorbe meristematskih skupkov; **16:** EXF-177 - zreli meristematski skupki (hlamidospore).

Slike 1,4,7,9: rast na MEA + 5 % NaCl; slike 2, 3, 5, 6, 10, 14: rast na MEA + 15 % NaCl; slike 8,11,12,13: rast na MEA + 20 % NaCl; slike 15,16: rast na MEA + 25 % NaCl.

5 DISKUSIJA

5.1 MIKRO IN MAKROMORFOLOGIJA

Spremljali smo morfološke značilnosti različnih sevov na gojiču MEA z različnimi koncentracijami NaCl. Izbrane seve smo mikroskopirali z diferencialno interferenčno kontrastno mikroskopijo.

Kolonije na ploščah so bile izjemno raznolike, kar se ujema z izredno polimorfno naravo vrste *Hortaea werneckii*, ki je odvisna od trenutnih pogojev v okolju (de Hoog 1993). Na gojiču brez dodanega NaCl, je bila večina sevov v kvasni obliki, ki je bila sprva slabo melanizirana. Po daljšemasu inkubacije so kolonije po rnele, debele, melanizirane celične stene pa so postale dobro vidne s svetlobno mikroskopijo, kar je ena od značilnosti *H. werneckii* (Chen in sod. 2012). Na gojiču s 5 % NaCl, so bili sevi prvi teden inkubacije največkrat v kvasni obliki, kasneje pa so začeli s formacijo hif prodirati v globino gojiča. Hife so zelo aktivno tvorile nove konidije, kar je dalo kolonijam svetle, mazav videz kvasne rasti. Pri več površanih koncentracijih NaCl v gojiču, se je začela tvorba hidrofobnih hif v obliki zračnih negativnih micelijia. Hife iz kolonij so izrazito nad površino gojiča. To v neugodnih pogojih, ko v okolju primanjkuje vode, omogoča prenašanje konidijev po zraku (de Hoog 1993). Daljši kot je bil čas inkubacije in višja kot je bila koncentracija NaCl v gojiču, več različnih morfoloških oblik kolonij smo opazili. Opazili smo celo več morfoloških različnih oblik na isti koloniji. Velikokrat se razlikujeta tudi rob in sredina kolonije, zato smo jih mikroskopirali ločeno. Za rob kolonije je značilna eksponentna faza rasti, kamor se izrazejo nove hife, pa tudi brstenje konidijev smo tukaj pogosteje opazili. Medtem ko v sredini koloniji pri mikroskopiranju nismo opazili hif, celice pa so največkrat ovalna oblike, pa tudi brstenje konidijev tukaj redko opazimo.

Tedensko smo merili premere kolonij pri različnih koncentracijah NaCl v gojičih. Najbolje so rastli sevi na gojiču z dodanim 5 % NaCl, kar se ujema z ugotovljeno optimalno koncentracijo NaCl za rast, ki je 5 do 10 % NaCl (Zalar in sod. 1999a). Vsi sevi so uspevali

tudi na gojiču brez dodanega NaCl, kar potrjuje halotolerantno naravo *H. werneckii* ó sol za njeno rast ni nujno potrebna, kar jo ločuje od halofilnih vrst, ki pa za rast sol nujno potrebujejo (Gunde-Cimerman in sod. 2009). Na gojiču z dodanim 25 % NaCl, je zrastlo le nekaj sevov, pač pri teh je rast zelo slaba, kolonije pa največkrat manjše od 1 milimetra. To pripisujemo dejству, da na tako površini koncentraciji NaCl sevi rastejo zelo počasi. Če bi flele bolje opazovali rast pri takšni koncentraciji NaCl, bi morali kasnje inkubacije podaljšati, saj so kolonije nekaterih sevov s prostim osom vidne že po treh tednih (Sterflinger 2006) Z istega razloga smo pri mikroskopiranju, le pri treh sevih opazili hlamidospore - meristematske skupke, ki nastanejo pri najbolj neugodnih pogojih. Če bi podaljšali kasnje inkubacije, bi se le-ti najbrž začeli tvoriti tudi pri ostalih sevih.

Izračunali in primerjali smo povprečna velikosti kolonij solinskih sevov in sevov izoliranih s loveka. Sevi izolirani s loveka so imeli po treh tednih inkubacije na vseh gojičih večje ali enako velike kolonije kot solinski sevi. Po nekaterih podatkih, naj bi solinski sev na gojičih z dodanim NaCl rastel nekoliko hitreje kot sev izoliran s loveka (Zalar in sod., 1999a). Solinski sevi so pri načini raziskave imeli v povprečju manjše kolonije na vseh gojičih tudi po prvem in drugem tednu inkubacije. To je lahko dodatni pokazatelj, da vrsta ni bila podvrflena evolucijski divergenci in prilagoditvi flivljenju na lovečki koffi, ampak jo naseljuje zgolj zaradi podobnih okoljskih dejavnikov, kot je njena naravna ekološka nica (de Hoog 1993).

5.2 MOLEKULARNO GENETSKE ANALIZE

Opravljenih je bilo več študij znotrajvrstne raznolikosti *Hortaea werneckii*. Avtorji so določali znotrajvrstne raznolikosti na podlagi filogenetske analize ITS1 regije (Zalar in sod. 1999), ITS2 regije in regije 5,8S rDNA (de Hoog in sod. 1999), z RAPD analizo (Uijthof in sod. 1994) ter z RFLP tehnikami mitohondrijske DNA (mtDNA) (de Cock 1994). Rezultati so nakazovali na več skupin znotraj *H. werneckii*.

Tudi pri naših analizah smo lahko potrdili obstoj več skupin znotraj vrste. Pri metodi prstnega odtisa z nukleotidnim za etnikom bakteriofaga M13, smo opazili zdrufovanje analiziranih sevov v pet skupin. Zaradi majhnega tevila pomnoflenih fragmentov so pri nekaterih sevih se je pomnofil le en fragment, je lo evanje v podskupine filogenetsko slabo podprt. Iz pridobljenega dendrograma izrisanega na osnovi podobnosti profilov pomnoflenih fragmentov je razvidno, da se klini ni sevi zdrufujejo v skupine skupaj s solinskimi sevi. Tako najdeno sev izoliran z ledvic flabe in solinski sev v isti gru in ter sev izoliran s loveka in solinski sev spet v drugi gru in. V temi gru in najdemo dva seva izolirana s loveka, imamo pa tudi gru o v kateri so le solinski sevi. Kot je napovedovala naša hipoteza, sevi osamljeni iz ljudi in flivali niso ločeni v različne filogenetske skupine, temveč so med samo pomešani.

Vse seve smo analizirali z metodo AFLP (polimorfizem dolfinje pomnoflenih delov). Iz pridobljenega dendrograma zgrajenega na osnovi podobnosti AFLP profilov, lahko ločimo dve filogenetsko močno podprtih skupini. V drugi skupini so le klini ni izolati od trije sevi izolirani s loveka, sev iz ledvic flabe in sev iz ribe. Vsi ostali sevi so v prvi veliki skupini. Znotraj prve skupine bi lahko med seboj ločili več podskupin, vendar podskupine niso ločene z zadostno podporo. Hipoteza je s tem delno potrjena, saj se klini ni izolati niso zdruffili izključno v eno skupino, ampak jih najdemo tudi v podskupinah z okoljskimi izolati.

Pri metodi prstnega odtisa z nukleotidnim za etnikom bakteriofaga M13 smo opazili le 12 polimorfnih znakov, medtem ko pri metodi AFLP kar 120 polimorfnih znakov. Metoda AFLP je bolj robustna in prilagodljiva, saj lahko z dodatkom selektivnih nukleotidov na oligonukleotidna za etnika prilagodimo ob utrjivost metode. Več kot dodamo selektivnih nukleotidov večja bo specifičnost vezave oligonukleotidnega za etnika in s tem manj pomnoflenih fragmentov. Tudi zaporedje selektivnih nukleotidov vpliva na specifičnost vezave za etnika (Savelkoul in sod. 1999). Pri našem delu smo preliminarno testirali vpliv selektivnih nukleotidov na tevilo pomnoflenih fragmentov. V fazi amplifikacije smo testirali tri kombinacije za etnikov; primer EcoRI in primer MspI, oba brez selektivnih nukleotidov, primer EcoRI brez selektivnih nukleotidov in primer MspI-TA (timin-adenin) ter primer

EcoRI-AC (adenin-citozin) in MspI-TA (timin-adenin). Pri prvih dveh kombinacijah je bilo pomnovenih fragmentov preveč, pri kombinaciji obeh za etnikov s selektivnima nukleotidoma pa je bilo fragmentov dovolj, vendar ne preveč (rezultati niso prikazani). Metoda AFLP je tako bolj primerna za razlikovanje offje sorodnosti nizkih taksonomskih skupin - kot na primer znotraj vrste, medtem ko za proučevanje sorodnosti višjih taksonomskih skupin, zaradi premajhnega tevila skupnih fragmentov in s tem zdrufovanja nesorodnih skupin, ni primerna (Savelkoul in sod. 1999).

6 SKLEPI

- *Hortaea werneckii* je izjemno halotolerantna, saj ve ina testiranih sevov raste na goji–ih brez NaCl, do koncentracije NaCl 25 %.
- Za rast na povi–ani koncentraciji NaCl v goji–u potrebujejo sevi daljša – na goji–ih s 25 % NaCl vsaj –tiri tedne
- Razlik v uspe–nosti rasti pri povi–ani koncentraciji NaCl med sevi izoliranimi s loveka in solinskim sevi nismo opazili. Sevi izolirani s loveka po treh tednih inkubacije na goji–ih brez NaCl in na goji–ih s povi–ano koncentracijo NaCl tvorijo veje, ali enako velike kolonije kot solinski sevi.
- Na osnovi analize podobnosti pomnoflenih fragmentov z metodo prstnega odtisa z nukleotidnim za etnikom bakteriofaga M13, so se sevi grupirali v –est skupin, a zaradi malega –tevila pomnoflenih fragmentov s slabo podporo. Sevi se glede na njihovo geografsko poreklo in habitat niso združevali v skupine, ampak so v skupinah pome–ani.
- Na osnovi podobnosti profilov pomnoflenih fragmentov pri metodi polimorfizma dolfinje pomnoflenih delov (AFLP) z oligonukleotidnima za etnikoma in dodanimi selektivnimi nukleotidi EcoRI-AC in MspI-TA, so se sevi z močno podporo grupirali v dve skupini. Ena je vsebovala le nesolinske seve, v drugo pa so se združili tako solinski kot nesolinski sevi izolirani s loveka in drugih habitatov. Znotraj skupin se sevi grupirajo z zelo slabo podporo.
- Pri ugotavljanju znotrajvrstne raznolikosti *H. werneckii*, z analizo celokupne genomske DNA, sta EcoRI-AC in MspI-TA najprimernejša kombinacija za etnikov in selektivnih nukleotidov.

7 POVZETEK

Hortaea werneckii je ekstremno halotolerantna rna kvasovka. Kot njen naravno ekološko ni o so določili slanice v solarnih solinah, izolirali pa so jo z iztevilnih drugih naravnih slanih habitatov, kot npr. slana jezera in kamnite površine ob obali. Na spremembe v okolju se kot ostale rne kvasovke odzove s kompleksnim flivljenjskim krogom, kjer se izmenjujeta hidrofilna kvasna oblika in hidrofobna rast v obliki hif. Pri loveku povzroča površinske okufle dlani in stopal, znane pod imenom *tinea nigra*, vendar le v tropskih in subtropskih predelih. Raznolik izvor sevov, tako s loveka kot iz ekstremne naravne ekološke ni o - solin, pa postavlja vprašanje, ali se izolati iz okolja in iz loveka razlikujejo.

V okviru diplomskega dela smo seve *H. werneckii*, izolirane iz različnih habitatov in lokacij, od tropskega do zmernega pasu primerjali na mikromorfološkem in makromorfološkem nivoju, primerjali smo sposobnost rasti na gojičih z različnimi koncentracijami NaCl ter ugotavljali znotrajvrstno variabilnost na nivoju genoma. Uporabili smo dve molekularno genetski metodi, in sicer metodo raznolikosti dolfin pomnoflenih fragmentov (AFLP) in metodo prstnega odtisa z nukleotidnim za etnikom bakteriofaga M13.

Razlik v uspešnosti rasti na gojičih s povprečno koncentracijo NaCl med sevi osamljenimi s loveške kofle in solinskimi sevi nismo opazili. Večina sevov je rastla v razponu od 0 do 25 odstotkov dodanega NaCl. Z molekularno genetskimi metodami smo ugotovili, da se solinski in ostali okoljski sevi ter sevi izolirani s loveka niso ločevali v različne filogenetske skupine, ampak so bili združeni. To je lahko pokazatelj, da vrsta ni posebej prilagojena na rast na loveški kofli, ampak jo naseljuje zgolj zaradi podobnosti s svojim primarnim okoljem oziroma solinami.

8 VIRI

- Abliz P., Fukushima K., Takizawa K., Miyaji M., Nishimura K. 2003. Specific oligonucleotide primers for identification of *Hortaea werneckii*, a causative agent of *tinea nigra*. Diagnostic Microbiology and Infectious Disease, 46: 89-93
- Andrews, S., Pitt, J. I. 1987. Further studies on the water relations of xerophilic fungi, including some halophiles. Journal of general microbiology, 133: 233-238
- Blomberg A., Adler L. 1992. Physiology of osmotolerance in fungi. Advances in microbial physiology, 33: 145-212
- Blomberg A. 2000. Metabolic surprises in *Saccharomyces cerevisiae* during adaptation to saline conditions: questions, some answers and a model. FEMS Microbiology Letters, 182: 1-8
- Bonifaz A., Badali H., Hoog G.S. de, Cruz M., Araiza J., Cruz M.A., Fierro L., Ponce R.M. 2008. *Tinea nigra* by *Hortaea werneckii*, a report of 22 cases from Mexico. Studies in mycology, 61: 77-82
- Buchalo A.S., Nevo E., Wasser SP., Oren A., Molitoris H.P. 1998. Fungal life in the extremely hypersaline water of the Dead sea: first records. Proceedings of the Royal Society of London. Series B, 256: 1461-1465
- Cabanes J. F., Bragulat R. M., Castella G. 2012. *Hortaea WHortaea werneckii* isolated from silicone scuba diving equipment in Spain. Medical Mycology, 50: 8: 852-857
- Castellani A., 1966. *Tinea nigra*; Some remarks and annotations, chiefly historical. Mycopathologia, 30: 193-199
- Chen J., Xing X. K., Zhang L. C., Xing Y. M., Guo S. X. 2012. Identification of *Hortaea WHortaea werneckii* isolated from mangrove plant *Aegiceras corniculatum* based on morphology and rDNA sequences. Mycopathologia, 174, 5-6: 457-466
- de Cock A.W.A.M. 1994. Population biology of *Hortaea werneckii* based on restriction patterns of mitochondrial DNA. Antonie van Leeuwenhoek, 65: 21-28
- Denning D.W., Clemons K.V., Hanson L.H., Stevens D.A. 1990. Restriction Endonuclease Analysis of Total Cellular DNA of *Aspergillus fumigatus* Isolates of Geographically and Epidemiologically Diverse Origin. The Journal of Infectious Diseases, 162: 1151-1158
- Fuchs Vivian, 1995. Enciklopedija neftive narave. Ljubljana, DZS: 349 str.

- Göttlich E., Hoog G.S. de, Yoshida S., Takeo K., Nishimura K., Miyaji M., 1995. Cell surface hydrophobicity and lysis as essential factors in human *tinea nigra*. Mycoses, 38: 489-494
- Gerrits van den Ende A.H.G., de Hoog G.S. 1999. Variability and molecular diagnostics of the neurotropic species *Cladophiala bantiana*. Studies in Mycology, 43: 151-162
- Gunde-Cimerman N., Zalar P., de Hoog G.S., Plemenitaš A., 2000. Hypersaline waters in saltmarshes as natural ecological niches for halophilic black yeasts. FEMS Microbiology Ecology, 32: 235-240
- Gunde-Cimerman N., Sonjak S., Zalar P., Frisvad J.C., Diderichsen B., Plemenitaš A. 2003. Extremophilic fungi in arctic ice: a relationship between adaptation to low temperature and water activity. Physics and Chemistry of the Earth, 28: 1273-1278
- Gunde-Cimerman N., Ramos J., Plemenitaš A., 2009. Halotolerant and halophilic fungi. Mycological Research, 113: 1231-1241
- Haase, G., Sonntag, L., Melzer-Krick, B., Hoog, G.S. de 1999. Phylogenetic inference by SSU-gene analysis of members of the *Herpotrichiellaceae* with special reference to human pathogenic species. Studies in mycology, 43: 80-97
- de Hoog G.S., Hermandies-Nijhof E.J. 1977. The black yeasts and allied hypomycetes. Mycologia, 69: 1242-1244
- de Hoog G.S., Gerrits van den Ende A.H.G. 1992. Nutritional pattern and eco-physiology of *Hortaea WHortaea werneckii*, agent of human *tinea nigra*. Antonie van Leeuwenhoek, 62: 321-329
- de Hoog G.S., 1993 Evolution of black yeasts: possible adaptation to the human host. Antonie Van Leeuwenhoek, 63: 105-109
- de Hoog G.S., Zalar P., Urzi C., de Leo F., Yurlova N.A. Sterflinger K. 1999. Relationships of dothideaceous black yeasts and meristematic fungi based on 5.8S and ITS2 rDNA sequence comparison. Studies in Mycology, 43: 33-40
- de Hoog G. S., Guarro J., Gené J., Figueras, M. J. 2000. Atlas of clinical fungi, Washington, ASM Press: 1160 str.

<http://taxonomy.zoology.gla.ac.uk/rod/treeview.html> (20. jun. 2007)

<http://web.natur.cuni.cz/flegr/programs/freetree.htm> (20. jun. 2007)

- Javor B. 1989. Hypersaline environments, Microbiology and Biogeochemistry. Springer, Berlin, Heidelberg: 328 str.
- Kejflar A., Gobec S., Plemenitaš A., Lenassi M. 2013. Melanin is crucial for growth of the black yeast *Hortaea werneckii* in its natural hypersaline environment. Fungal Biology, 117: 368-379
- Kejflar A., Gibic M., Grötl M., Plemenitaš A., Lenassi M. 2015. The unique characteristics of HOG pathway MAPKs in the extremely halotolerant *Hortaea werneckii*. FEMS Microbiology Letters, 362: doi: 10.1093/femsle/fnv046: 9 str.
- Kis-Papo T., Oren A., Wasser S.P., Nevo E. 2003. Survival of Filamentous Fungi in Hypersaline Dead Sea Water. Microbial Ecology, 45: 183-190
- Kogelj T., Stein M., Volkmann M., Gorbushina A. A., Galinski E. A., Ginde-cimerman N. 2007. Osmotic adaptation of the halophilic fungus *Hortaea whortaea werneckii*: role of osmolytes and melanization. Microbiology, 153: 4261-4273
- Lenassi M., Gostinac C., Jackman S., Turk M., Sadowski I., Nislow C., Jones S., Birol I., Gunde-Cimmerman N., Plemenitaš A. 2013. Whole genome duplication and enrichment of metal cation transporters revealed by *de novo* genome sequencing of extremely halotolerant black yeast *Hortaea werneckii*. PLoS ONE, 8, 8: e71328, doi: 10.1371/journal.pone.0071328: 18 str.
- McKinlay J.R., Barrett T.L., Ross E.V. 1999. Picture of the month. *Tinea nigra*. Archives of pediatrics & adolescent medicine, 153: 305-306
- Neves, J.A, Costa O.G., 1947. *Tinea nigra*. Archives of Dermatology, 55: 67-84
- Ng K. P., Soo-Hoo T. S., Na S. L. Tay S. T., Hamimah H., Lim P. C., Chong P. P., Seow H. F., Chavez A. J., Messer S. A., 2005. The mycological and molecular study of *Hortaea werneckii* isolated from blood and splenic abscess. Mycopathologia, 159: 495-500
- Nishimura, K., Miyaji, M. 1984. *Hortaea*, a new genus to accomodate *Cladosporium werneckii*. Japanese journal of medical mycology, 25: 139-146
- Norbeck J., Blomberg A. 1996. Protein expression during exponential growth in 0.7 M NaCl medium of *Saccharomyces cerevisiae*. FEMS Microbiol Letters, 137, 1: 1-8
- Oren A. 1999. Bioenergetic aspects of halophilism. Microbial and molecular biology reviews, 63, 2: 334-348

- Oren, A. 2002. Halophilic microorganisms and their environments. Dordrecht, Kluwer Academic Publishers: 575 str.
- Page R.D.M. 2000 TreeView software. Glasgow, Institute of Biomedical and Life Sciences, Division of Environmental and Evolutionary Biology.
http://taxonomy.zoology.gla.ac.uk/rod/treeview/treeview_manual.html (20. jun. 2007)
- Pavlek A., Hrdá S., Flegr J. 1999 Freetree – freeware program for construction of phylogenetic trees on the basis of distance data and for bootstrap/jackknife analysis of the trees robustness. Application in the RAPD analysis of genus *Frenkelia*. *Folia Biologica*, 45: 97-99
- Perez C., Colella M.T., Olaizola C., Capriles C.H. de, Magaldi S., Mata-Essayag S. 2005. *Tinea nigra*: Report of twelve cases in Venezuela. *Mycopathologia*, 160: 235-238
- Pitt, J.I., Hocking A.D. 1977 Influence of solute and hydrogen ion concentration on the water relationship of some xerophilic fungi. *Journal of General Microbiology*, 101: 35-40
- Plemenitaš A., Vaupotiš T., Lenassi M., Kogelj T., Gunde-Cimerman N. 2008. Adaptation of extremely halotolerant black yeast *Hortaea WHortaea werneckii* to increased osmolarity: a molecular perspective at a glance. *Studies in Mycology*, 61: 67-75
- Raper K.B., Thom C. 1949. A manual of the *Penicillia*. Baltimore, Williams and Wilkins: 875 str.
- Ryskov A.P., Jincharadze A.G., Prosnjak M.I., Ivanov P.L., Limborska S.A. 1988. M13 phage DNA as a universal marker for DNA fingerprinting of animals, plants and microorganisms. *FEBS Letters*, 233: 388-392
- Sambrook J., Fritsch E.F., Maniatis T. 1989. Molecular cloning: a laboratory manual. New York, Cold Spring Harbor: 854 str.
- Savelkoul, P. H. M., Aarts H. J. M., de Haas J., Dijkshoorn L., Duim B., Otsen M., Rademaker L. W., Schouls L., Lenstra J. A. 1999. Amplified-Fragment Length Polymorphism Analysis: the State of an Art. *Journal of Clinical Microbiology*, 37: 3083-3091
- Sharmin S., Haritani K., Tanaka R., Abliz P., Takizawa K., Sano A., Fukushima K., Nishimura K., Miyaji M. 2002 The first isolation of *Hortaea werneckii* from a household guinea pig. *Nihon Ishinkin Gakkai Zasshi*, 43: 175-180
- Sonjak S., Frisvad J.C., Gunde-Cimerman N. 2007. Genetic variation among *Penicillium crustosum* isolates from Arctic and other ecological niches. *Microbial Ecology*, 54: 298-305

- Sterflinger K., 1998. Temperature and NaCl-tolerance of rock-inhabiting meristematic fungi.
Antonie van Leeuwenhoek, 74: 271-281
- Sterflinger, K., Hoog de, G.S., Haase G., 1999. Phylogeny and ecology of meristematic
ascomycetes. Studies in mycology, 43: 5-22
- Sterflinger K. 2006. Black yeasts and meristematic fungi: ecology, diversity and identification.
Biodiversity and ecophysiology of yeasts: 501-514
- Turk M., Plemenitaš A. 2002. The HOG Pathway in the halophilic black yeast *Hortaea werneckii*: isolation of the *HOG1* homolog gene and activation of HwHog1p. FEMS
Microbiology Letters, 216: 193-199
- Uijthof J.M., de Cock A.W., de Hoog G.S., Quint W.G., van Belkum A. 1994. Polymerase
chain reaction-mediated genotyping of *Hortaea werneckii*, causative agent of *tinea nigra*.
Mycoses, 37: 307-312
- Vos P., Hogers R., Bleeker M., Reijans M., Lee van de T., Hornes M., Friters A., Pot J.,
Paleman J., Kupier M., Zabeau M. 1995. AFLP: a new technique for DNA fingerprinting.
Nucleic Acids Research, 23: 4407-4414
- Williams J.G.K., Kubelik A.R., Livak K.J., Rafalski J.A., Tingey S.V. DNA polymorphisms
amplified by arbitrary primers are useful as genetic markers. 1990. Nucleic Acids
Research, 18: 6531-6535
- Zalar, P. 1999. Halofilne rne kvasovke v vodah solin. Magistrsko delo. Ljubljana, Univerza
v Ljubljani, Biotehnička fakulteta, Oddelek za biologijo: 96 str.
- Zalar, P., de Hoog G.S., Gunde-Cimerman N. 1999a. Ecology of halotolerant dothideaceous
black yeasts. Studies in Mycology, 43: 38-48
- Zalar P., Gunde-Cimerman N. 2002. Taksonomija in identifikacija gliv. Ljubljana, Scripta,
Studentska založba: 92 str.

ZAHVALA

Zahvaljujem se mentorici prof. dr. Nini Gunde-Cimerman, brez katere diplomske naloge ne bi bilo.

Hvala recenzentki prof. dr. Ani Plemenita–za hiter in tehten pregled naloge.

Za vso pomo v laboratoriju, ko sem jo najbolj potreboval, se iskreno zahvaljujem doc. dr. Cenetu Gostin arju in doc. dr. Martini Turk.

Velika hvala gre dr. Silvi Sonjak za pomo in protokole pri AFLP.

Levji delefli zahvale pripada predsednici komisije in »delovni mentorici« doc. dr. Poloni Zalar, ki je vedno našla as zame, me spremljala skozi celoten praktični del naloge, mi pomagala pri tevilnih vprašanjih in zapletih, za vse predloge ter za hiter in temeljit pregled naloge.

Posebna zahvala gre doma im, ki so mi stali ob strani in mi dajali inspiracijo, posebej mali Maks in Petra, kateri gre tudi zahvala za odlične, skoraj profesionalne fotografije sevov.

PRILOGE

PRILOGA A

VELIKOSTI KOLONIJ V MILIMETRIH NA GOJI™ U MEA Z RAZLIČNIMI KONCENTRACIJAMI NaCl, PO ENEM, DVEH IN TREH TEDNIH INKUBACIJE

	teden	1	2	3	1	2	3	1	2	3	1	2	3	1	2	3
EXF-t. seva	Konc. NaCl	0 % NaCl			5 % NaCl			15 % NaCl			20 % NaCl			25 % NaCl		
9		5	9	12	9	20	30	3	10	18,5	2	4	6	0	0	1
12		2,5	6	11	3,5	18	30	2	3	12,5	1	3	4	0	0	0
15		/	/	/	7,5	19,5	30	2	10	19	2	3	4,5	0	0	1
16		3,5	10	17,5	7,5	16,5	19,5	2,5	6,5	15	1,5	2	3	0	0	1,5
18		4,5	11,5	19	3	10	27	2	7,5	19	0	1,5	4,5	0	0	0
19		4	7,5	15,5	3,5	12	27	2	4,5	13	2	3	4	0	0	1
20		3	10	17	5	17	26	2	7	18	0	1,5	5	0	0	0
29		2,5	4,5	8	5,5	18	27	1,5	5	11	0	2	3	0	0	0
34		/	5	8	10	25	42	3	12	23	0	2,5	10	0	0	2,5
96		/	/	/	3,5	10	23	2	8,5	19,5	0	2	6,5	0	0	1
100		3,5	8	12	9	20	33	2	9,5	19	0	2,5	5	0	0	1
108		/	/	/	3	6,5	13	1,5	2,5	8	0	1,5	2,5	0	0	0
112		3	6	9	3	11	21	2,5	3,5	13	0	2	2,5	0	0	0
120		3	6	9	2,5	6,5	16,5	1,5	3	7	0	2	3	0	0	0
151		3,5	6,5	13	7	16	26,5	2	5,5	12	0	1,5	4	0	0	0
154		/	/	/	4	6,5	11,5	2,5	3,5	8,5	0	1,5	3	0	0	0
155		4	10	16	9,5	21,5	31	5	11,5	21,5	1	4	8	0	0	0
157		1,5	9	12	3	10	18	1	2	10,5	0	1	3	0	0	0
166		3	6	9	5	15	27	1,5	6,5	14,5	1	2	6	0	0	0
171		5,5	14	25	11	21	37	1	5	11	0	0	1,5	0	0	0
177		1	7	14,5	9,5	20,5	36,5	3,5	10,5	21	0	3	9,5	0	0	1
239		3,5	7,5	10,5	3	12	20	2	9,5	20	0	3	6	0	0	0
225		/	/	/	3,5	15	26	1	3,5	11	0	2,5	3,5	0	0	0
241		3	6	8,5	4	8	20	1	4	12	1	2	3	0	0	1
247		3	6	9	4	6	15	2,5	3,5	10,5	s	2	3	0	0	1,5
562		4	11	14	7,5	17,5	33	2	9	21,5	1	2,5	8,5	0	1,5	3
2514		/	/	/	6	20,5	33	2,5	9	20	1	3,5	5,5	0	0	0
2579		4,5	9	13,5	9,5	21	35	3,5	8,5	17,5	1	2	5,5	0	0	0
2781		3,5	7,5	12,5	4	9,5	20,5	1	2,5	9	1	2,5	4	0	0	0
2782		1	7	13	3	8	24	0	3	12	0	1	6	0	0	0
2783		5,5	10	15	11	23	34	2	9,5	16,5	1	3	7	0	0	1,5
2784		3,5	6,5	9,5	4	7	10	1,5	3	4	0	2	2,5	0	0	0

Se nadaljuje.

Nadaljevanje - PRILOGA A: velikosti kolonij v milimetrih na goji- u mea z različnimi koncentracijami NaCl, po enem, dveh in treh tednih inkubacije

		4,5	7,5	12,5	4	11	24	2	10	20	0	2,5	8,9	0	0	1
2785		4,5	7,5	12,5	4	11	24	2	10	20	0	2,5	8,9	0	0	1
2786		3,5	7,5	8,5	3	6	17	1	3	8,5	1	2	3,5	0	0,5	1
2787		/	/	/	4	8,5	20	1,5	3,5	13	0	1,5	3	0	0	0
2788		4,5	11	14	8	19	32	1,5	8	16	1	3	7	0	0	1
2683		/	/	/	9	29	35	2,5	14	20	0	4	8	0	0	0
2684		5	11	13	9,5	24	30	4	13	18	1	3,5	5,5	0	0	0
2685		/	/	/	2,5	7	11,5	1,5	3,5	5	0	2,5	2,5	0	0	0
2686		/	/	/	1,5	14,5	24	1	13	20	0	0	0	0	0	1
2687		2	16	22	1,5	20	26	0	4	8,5	0	0	0	0	0	0
2688		4	14	19	8	20,5	29	1,5	9,5	14,5	0	1,5	2,5	0	0	0
2689		1	12	17	5	21	30	1	7	10	1	2,5	3,5	0	0	0
2690		3,5	10	14,5	6	19	25	2	12	17,5	1	2	3,5	0	0	0

Legenda: / - ni podatka